

摘要

本文档是 TPS65988 评估模块 (TPS65988EVM) 的用户指南。作为独立测试套件的一部分，TPS65988EVM 可用于评估 TPS65988 IC，以及开发和测试 USB Type-C 和电力输送 (PD) 最终产品。TPS65988EVM 开箱即用，配置为对双端口笔记本电脑进行仿真。这两个端口可用于提供或接收电源，两者都是双角色端口 (DRP)，但只作为下行端口 (DFP) 主机来支持数据。当需要不同的配置来测试系统时，请使用 *TPS65988 应用程序配置* 软件工具创建配置或加载不同的配置模板（请参阅图 1-1）。TPS65988EVM 使用控制 MUX (HD3SS3412) 路由 DisplayPort™ (DP)，并使用 USB HUB (TUSB8020) 将 USB 信号路由到适当的端口 A 或端口 B (端口 A/B)。此控制 MUX 和 USB HUB 连接到一个超高速 (SS) MUX (TUSB546)，后者根据电缆方向和交替模式选择来路由适当的 DP 信道和 USB 3.0 信号。图 1-2 突出显示了这些特性。

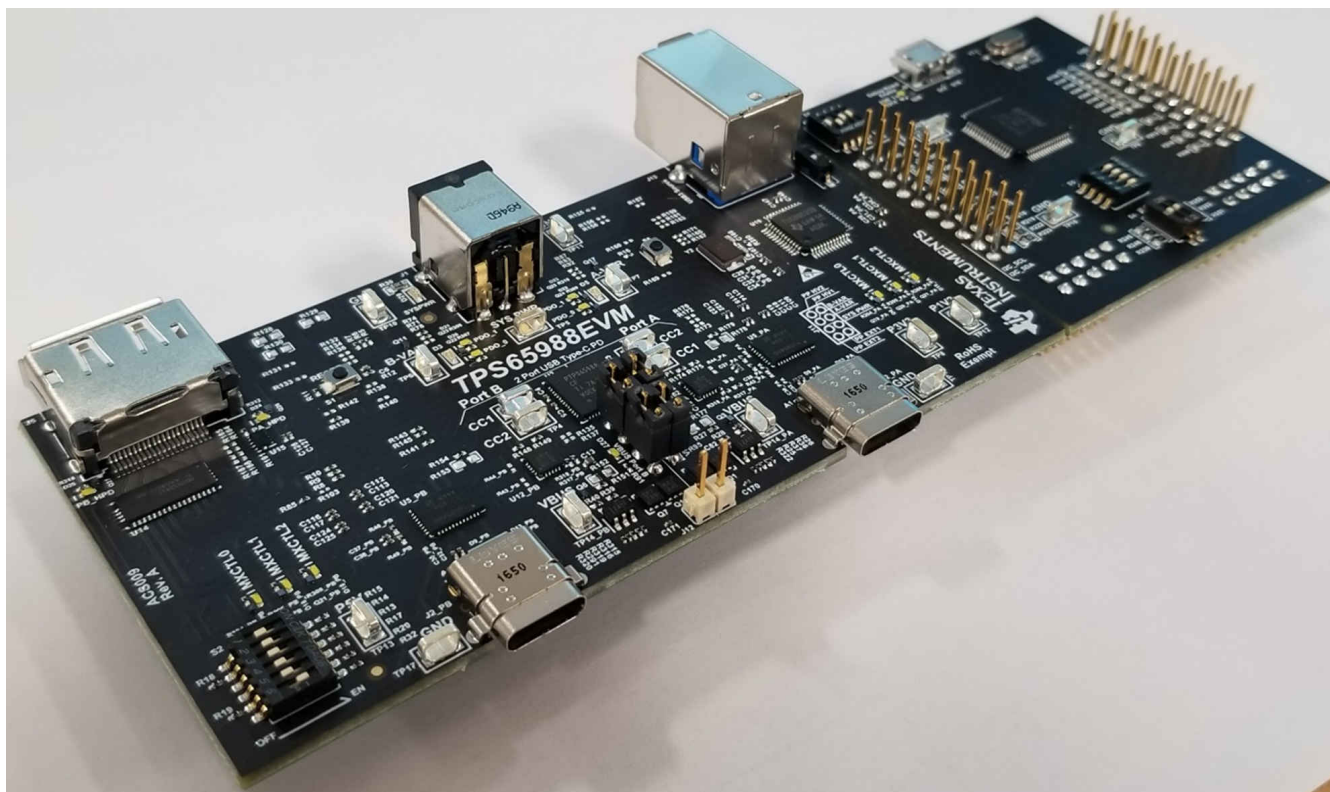
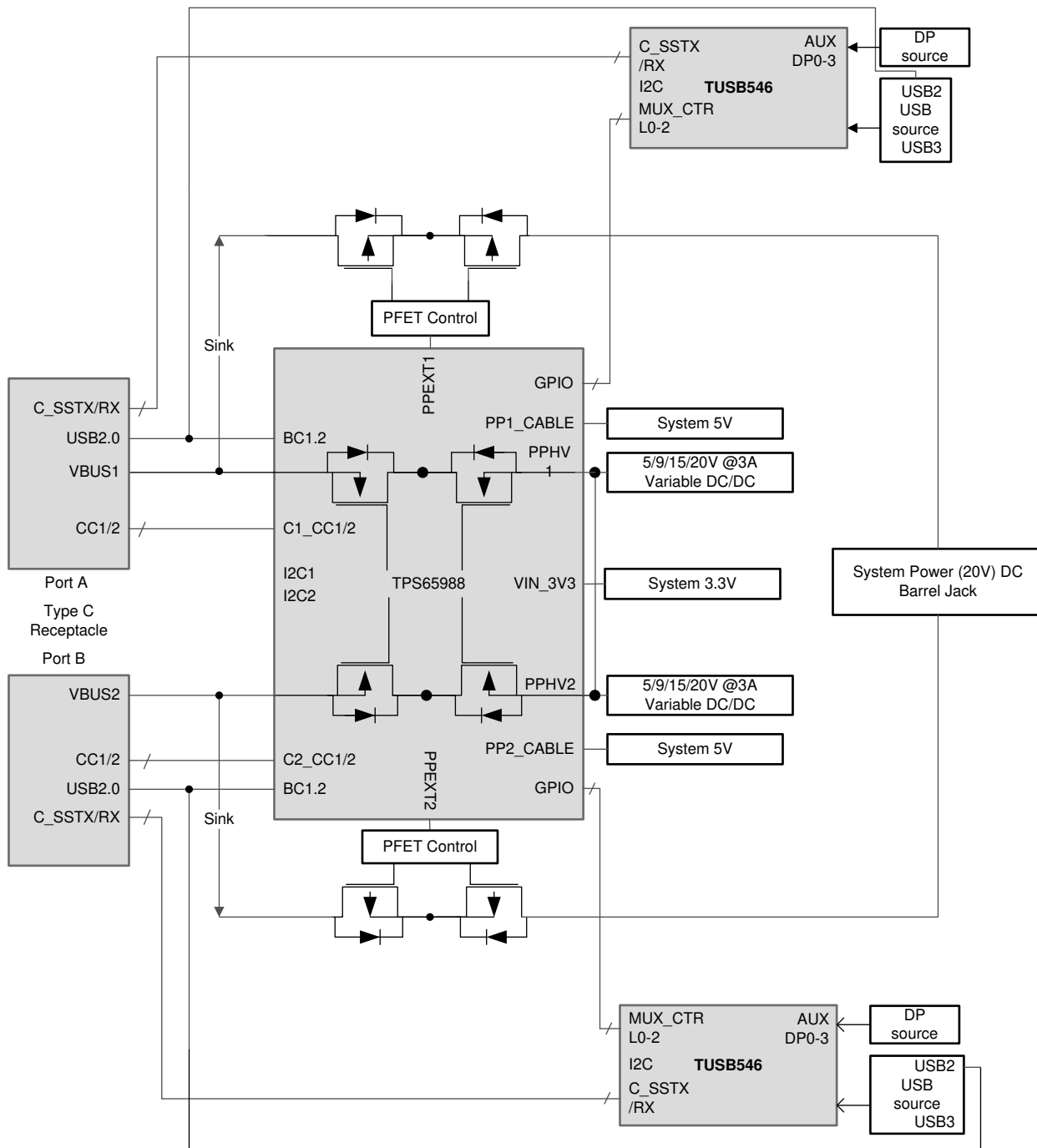


图 1-1. TPS65988EVM



Copyright © 2017, Texas Instruments Incorporated

图 1-2. TPS65988EVM 方框图

内容

| | |
|--------------------------|---|
| 1 关于本手册..... | 5 |
| 2 注意事项和警告信息..... | 5 |
| 3 运行所需的项目..... | 5 |
| 4 引言..... | 5 |
| 5 设置..... | 6 |
| 5.1 开关、按钮、连接器和测试点说明..... | 6 |

| | |
|------------------------------------|-----------|
| 5.2 LED 指示灯说明..... | 25 |
| 6 使用 TPS65988EVM..... | 29 |
| 6.1 为 TPS65988EVM 供电..... | 29 |
| 6.2 固件配置..... | 29 |
| 7 连接 EVM..... | 30 |
| 7.1 连接到各种设备..... | 30 |
| 7.2 调试 EVM..... | 35 |
| 8 REACH 合规性..... | 37 |
| 9 TPS65988EVM 原理图..... | 38 |
| 10 TPS65988EVM 电路板布局布线..... | 51 |
| 11 TPS65988EVM 物料清单..... | 54 |
| 12 修订历史记录..... | 63 |

插图清单

| | |
|--|----|
| 图 1-1. TPS65988EVM..... | 1 |
| 图 1-2. TPS65988EVM 方框图..... | 2 |
| 图 5-1. TPS65988 跳线配置..... | 7 |
| 图 5-2. TPS65988 跳线配置网名称..... | 7 |
| 图 5-3. TPS65987D 跳线配置..... | 8 |
| 图 5-4. TPS65987D 跳线配置网名称..... | 8 |
| 图 5-5. TPS65987S 跳线配置..... | 9 |
| 图 5-6. TPS65987S 跳线配置网名称..... | 9 |
| 图 5-7. DisplayPort™ 源端原理方框图..... | 10 |
| 图 5-8. DisplayPort™ 源端方框图..... | 10 |
| 图 5-9. DisplayPort™ 源端插座..... | 10 |
| 图 5-10. HRESET 按钮 (S1) 原理图..... | 11 |
| 图 5-11. HRESET 按钮 (S1)..... | 11 |
| 图 5-12. SPI-MISO 下拉开关..... | 12 |
| 图 5-13. FTDI® DIP 开关 (S3) 原理图..... | 12 |
| 图 5-14. FTDI® DIP 开关 (S3)..... | 13 |
| 图 5-15. I ² C 和 BusPower DIP 开关 (S2)..... | 14 |
| 图 5-16. I ² C DIP 开关 (S2) 原理图..... | 14 |
| 图 5-17. 桶形插孔 (J1) 原理图..... | 15 |
| 图 5-18. 桶形插孔 (J1)..... | 15 |
| 图 5-19. 桶形插孔检测原理图..... | 16 |
| 图 5-20. USB Type-B 插座 (J11) 原理图..... | 16 |
| 图 5-21. USB (J11) 方框图..... | 16 |
| 图 5-22. USB Type-B 插座 (J11)..... | 17 |
| 图 5-23. USB Type-C™ 插座 (J2) 原理图..... | 18 |
| 图 5-24. USB Type-C™ 插座 (J2)..... | 18 |
| 图 5-25. USB Micro-B 插座 (J9) 原理图..... | 19 |
| 图 5-26. USB Micro-B 插座 (J9)..... | 19 |
| 图 5-27. TP13 (5V)、TP8 (3.3V) 和 TP12 (1.2V)..... | 20 |
| 图 5-28. Aardvark™ 连接器 (J10) 原理图..... | 21 |
| 图 5-29. Aardvark™ 连接器 (J10)..... | 21 |
| 图 5-30. TP10、TP11、TP15、TP16、TP17、TP18、TP9 : GND 测试点..... | 21 |
| 图 5-31. TP1、TP2、TP3 和 TP4 - CC1 和 CC2 测试点..... | 22 |
| 图 5-32. TPS65988 BMC 数据..... | 22 |
| 图 5-33. VBUS 测试点 : TP14..... | 23 |
| 图 5-34. TPS65988 VBUS 电压转换..... | 23 |
| 图 5-35. A-Var、B-Var 和系统电源测试点 : TP7、TP6 和 TP5..... | 24 |
| 图 5-36. BoosterPack™ 接头 (J3 和 J4) | 25 |
| 图 5-37. MUX 控制 LED..... | 26 |
| 图 5-38. HPD 端口 A/B LED..... | 26 |
| 图 5-39. PDO 端口 A/B LED..... | 27 |
| 图 7-1. 将 EVM 连接到 Type-A 设备..... | 30 |
| 图 7-2. 将 EVM 连接到 USB Type-C™ 设备..... | 31 |
| 图 7-3. DRP CC1 和 CC2 切换..... | 35 |

商标

| | |
|---|----|
| 图 7-4. USB Type-C™ 连接和 VBUS..... | 35 |
| 图 7-5. USB Type-C™ 连接和 PD 协商..... | 36 |
| 图 9-1. TPS65988EVM 方框图..... | 38 |
| 图 9-2. TPS65988EVM 处理器模块..... | 39 |
| 图 9-3. TPS65988EVM 电源路径模块..... | 40 |
| 图 9-4. TPS65988EVM 电源模块..... | 41 |
| 图 9-5. TPS65988EVM DisplayPort 多路复用器..... | 42 |
| 图 9-6. TPS65988EVM SS MUX 模块端口 A | 43 |
| 图 9-7. TPS65988EVM SS MUX 模块端口 B..... | 44 |
| 图 9-8. TPS65988EVM USB HUB..... | 45 |
| 图 9-9. TPS65988EVM USB Type-C™ 端口 A 模块 | 46 |
| 图 9-10. TPS65988EVM USB Type-C™ 端口 B 模块 | 47 |
| 图 9-11. TPS65988EVM FTDI® 连接器模块..... | 48 |
| 图 9-12. TPS65988EVM 电流感测模块端口 A..... | 49 |
| 图 9-13. TPS65988EVM 电流感测模块端口 B..... | 49 |
| 图 9-14. TPS65988EVM BoosterPack 接头模块..... | 50 |
| 图 10-1. TPS65988EVM 顶部覆盖层..... | 51 |
| 图 10-2. TPS65988EVM 焊接..... | 51 |
| 图 10-3. TPS65988EVM 顶层 SSTRX1..... | 51 |
| 图 10-4. TPS65988EVM GND 平面 1..... | 51 |
| 图 10-5. TPS65988EVM 高速..... | 52 |
| 图 10-6. TPS65988EVM GND 平面 2..... | 52 |
| 图 10-7. TPS65988EVM 电源 1..... | 52 |
| 图 10-8. TPS65988EVM 电源 2..... | 52 |
| 图 10-9. TPS65988EVM GND 平面 3..... | 53 |
| 图 10-10. TPS65988EVM SSTRX2..... | 53 |
| 图 10-11. TPS65988EVM 阻焊层..... | 53 |
| 图 10-12. TPS65988EVM 底层组件视图..... | 53 |

表格清单

| | |
|---------------------------------------|----|
| 表 5-1. 端口 A SS MUX 控制 LED 功能..... | 26 |
| 表 5-2. 端口 B SS MUX 控制 LED 功能..... | 27 |
| 表 5-3. 可变直流/直流控制端口 A/B 功能..... | 27 |
| 表 5-4. PDO LED 0 和 PDO LED 1 真值表..... | 28 |
| 表 5-5. I ² C 地址设置..... | 28 |
| 表 5-6. ADCIN1 设置..... | 28 |
| 表 7-1. DisplayPort™ 和 USB 测试设置..... | 33 |
| 表 8-1. REACH 合规性..... | 37 |
| 表 11-1. TPS65988EVM 物料清单..... | 54 |

商标

DisplayPort™ is a trademark of Video Electronics Standards Association.

USB Type-C™ is a trademark of USB Implementers Forum.

Aardvark™ is a trademark of Total Phase, Incorporated.

BoosterPack™ is a trademark of Texas Instruments.

Future Technology Devices International®FTDI® are registered trademarks of Future Technology Devices International Limited.

Dell® is a registered trademark of Dell Incorporated.

Total Phase® is a registered trademark of Total Phase, Incorporated.

Microsoft® and Windows® are registered trademarks of Microsoft Corporation.

所有商标均为其各自所有者的财产。

1 关于本手册

本用户指南介绍了 TPS65988EVM，包含简介、设置说明、EVM 原理图、电路板布局布线、元件视图、内部电源 (PWR) 和接地 (GND) 平面布局以及物料清单 (BOM)。

2 注意事项和警告信息



CAUTION

此 EVM 包含可能因静电放电而受损的元件。不使用时，请务必将 EVM 置于随附的 ESD 袋中进行运输和贮存。使用防静电腕带处理。在防静电工作台上操作。更多有关正确处理的信息，请参阅[静电放电 \(ESD\)](#)。

3 运行所需的项目

使用 TPS65988EVM 时需具备以下各项：

- TPS65988 数据表
- TPS65988EVM
- *TPS65988 Application Customization Tool*
- 20V 桶形插孔适配器或直流电源（型号 492-BBGP）
- USB Type-C™ 无源电缆
- USB Type-A 转 USB Micro-B 电缆
- USB Type-A 转 USB Type-B 电缆
- Mini-DisplayPort 转 DisplayPort 电缆
- 具有 USB 2.0、USB 3.0 和 DP 功能的笔记本电脑

4 引言

TPS65988 是一款独立式 USB Type-C 和电力输送 (PD) 控制器，可在 USB Type-C 连接器处提供电缆插拔和方向检测功能。进行电缆插拔和方向检测时，TPS65988 会在 CC 线上使用 USB PD 协议进行通信。完成电缆检测和 USB PD 协商后，TPS65988 会启用相应的电源路径，并配置外部多路复用器和交替模式设置。

本用户指南介绍了如何使用 TPS65988EVM 来测试 DisplayPort 交替模式以及 USB 数据。本指南还介绍了 DP 交替模式的测试程序以及各种 PD 电源配置。可通过 *TPS65988 配置工具* 来定制该 EVM。此外，该 EVM 还配备了 Future Technology Devices International® (FTDI®) 电路板和 Aardvark 连接器，以连接到 SPI 或 I²C 接口进行调试和开发。

5 设置

本节介绍了各种 EVM 特性以及如何测试这些特性。必要时会提供原理图屏幕截图、图片和方框图。

5.1 开关、按钮、连接器和测试点说明

本节以从左到右和从上到下的顺序列出了该 EVM 包含的元件，同时列出了相关元件。

5.1.1 电源路径跳线配置

借助 TPS65988EVM，可通过调整 J11 和 J12 上的跳线来分析 TPS65987D 和 TPS65987S 平台。

5.1.1.1 TPS65988 跳线配置

TPS65988EVM 开箱即用，具有适用于 TPS65988 器件的跳线配置。通过此配置，两个内部电源路径可配置为适合各个 Type-C 端口的源端路径。两个外部电源路径可配置为适合各个 Type-C 端口的接收端路径。使用 TPS65988EVM 时，请使用 TPS6598x Application Customization Tool 中的 TPS65988 模板。有关 TPS65988 跳线配置，请参阅图 5-1 和图 5-2。



图 5-1. TPS65988 跳线配置

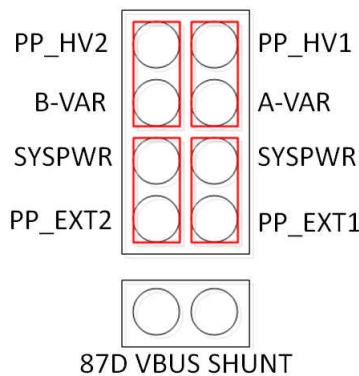


图 5-2. TPS65988 跳线配置网名称

5.1.1.2 TPS65987D 跳线配置

若要将 TPS65988EVM 用作 TPS65987D，需要调整 J11 和 J12 上的跳线。在 J12 上放置一条跳线，以将两个 VBU 节点短接在一起。在此用例中，其中一条内部电源路径用作源端路径，另一条内部电源路径用作接收端路径。TPS65987D 支持一个 Type-C 端口并包含 2 条内部电源路径。通过使用 TPS6598x Application Customization Tool 中的 TPS65987D 配置模板，可将 TPS65988 配置为用作 TPS65987D。在此配置中，PPHV2 用作 Type-C 端口的源端路径，它连接到配置网中的 B-Var，B-Var 是 TPS65988 配置中用于端口 B 的可变直流/直流。PPHV1 用于 TPS65987D 上的接收端路径。在此配置中，PPHV1 连接到配置网中的 SYSPWR。有关 TPS65987D 跳线配置，请参阅图 5-3 和图 5-4。当将 TPS65988EVM 配置为 TPS65987D 时，只有端口 A 正常工作。



5.1.1.3 TPS65987S 跳线配置

若要使用 TPS65988EVM 对 TPS65987S 进行仿真，需要调整 J11 上的跳线。TPS65987S 支持一个 Type-C 端口并包含一条内部电源路径。当使用 TPS65988EVM 对 TPS65987S 进行仿真时，内部电源路径 (PPHV1) 用作源端路径，其中一个外部电源路径用作接收端路径。通过使用 TPS6598x Application Customization Tool 中的 TPS65987S 配置模块，可将 TPS65988 配置为用作 TPS65987S。有关 TPS65987D 跳线配置，请参阅图 5-5 和图 5-6。当将 TPS65988EVM 配置为用作 TPS65987S 时，只有端口 A 正常工作。

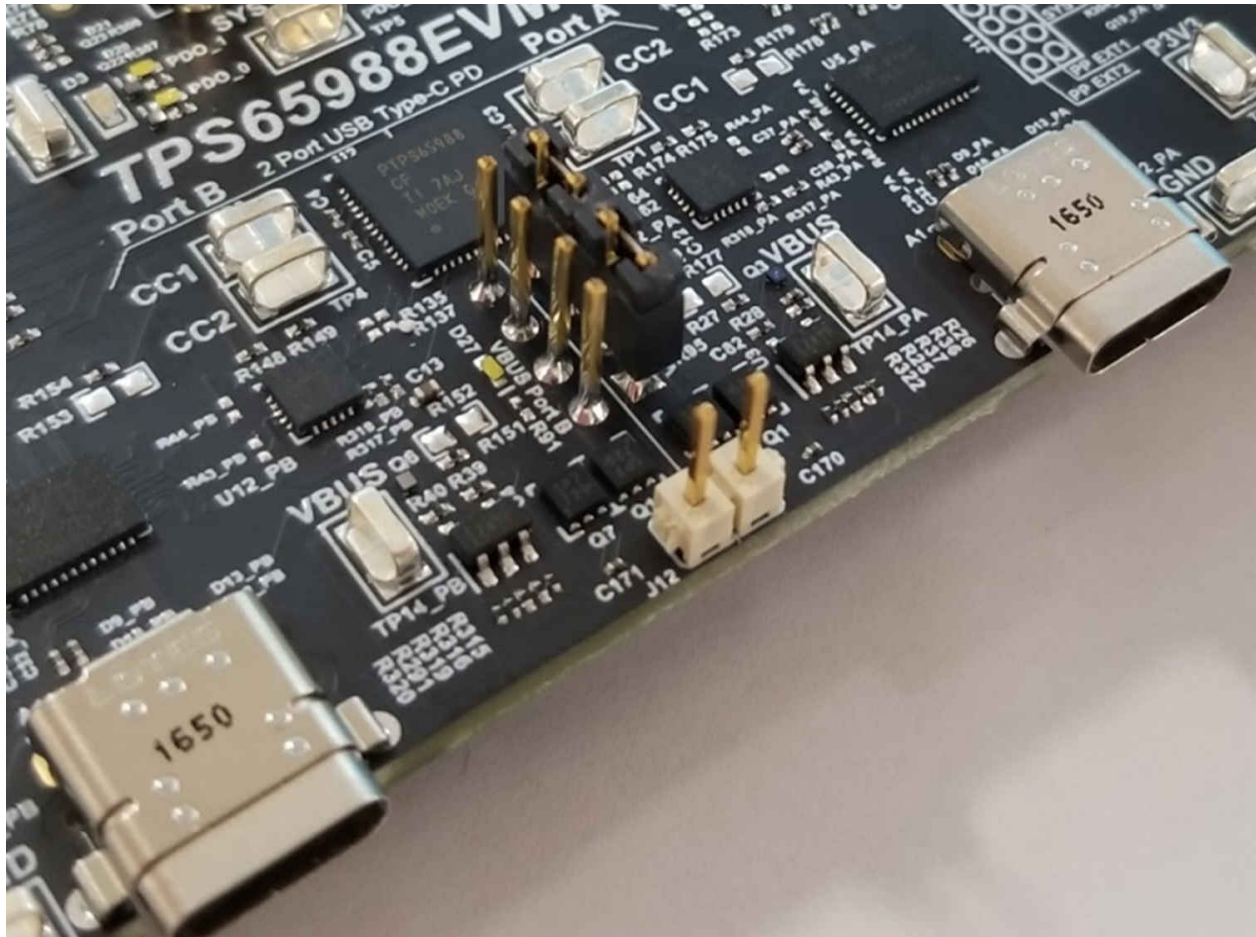


图 5-5. TPS65987S 跳线配置

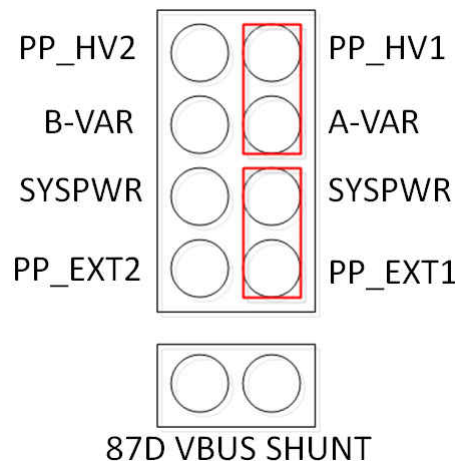


图 5-6. TPS65987S 跳线配置网名称

5.1.2 DP 源端插座

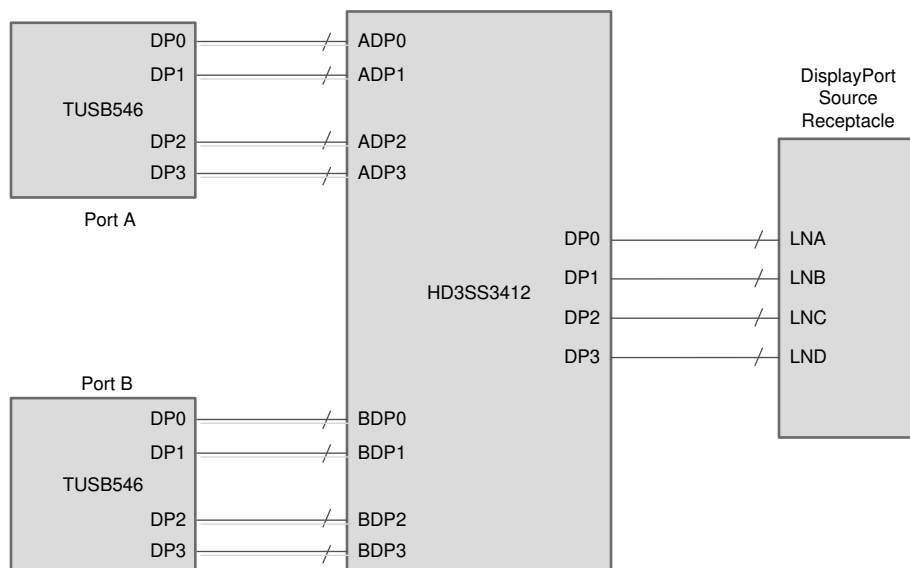
DP 源端插座对于端口 A/B 路由 DP 通道、对于端口 A/B 路由 AUX 通道、对于端口 A/B 以及路由 DP 端口 A/B 路由 HPD 通道。HD3SS3412 用于将 DP 源端从全尺寸 DP 插座多路复用到端口 A/B 的 USB Type-C 交替模式 MUX (TUSB546)。一次只能有一个端口支持 DP。DP 源端 MUX 由 GPIO0 控制，将 DP 源端信号分配至适当的端口。图 5-7 显示了 DP 源端 MUX 配置。

备注

端口 A 或端口 B 上只能同时使用一个 DP 源端。



图 5-7. DisplayPort™ 源端原理方框图



Copyright © 2017, Texas Instruments Incorporated

图 5-8. DisplayPort™ 源端方框图



图 5-9. DisplayPort™ 源端插座

5.1.3 S1 HRESET 按钮

S1 位于 EVM 的左上角。此开关是一个按钮，按下时可将 TPS65988 的 HRESET 引脚 (39) 拉高。松开该按钮会再次将 HRESET 拉低，TPS65988 会进行软复位，包括从 RAM 重新加载固件 (FW)。如果 RAM 中存在有效配置，TPS65988 不会从外部闪存重新加载配置。图 5-10 突出显示了这些特性。

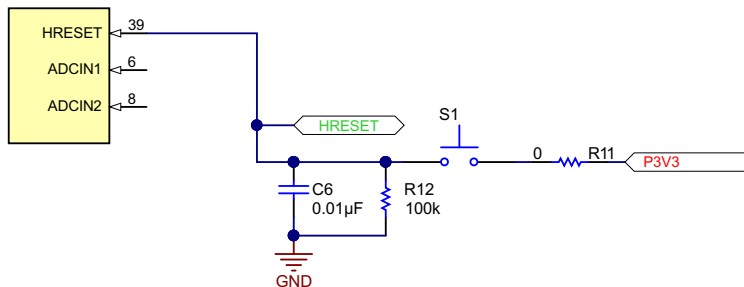


图 5-10. HRESET 按钮 (S1) 原理图

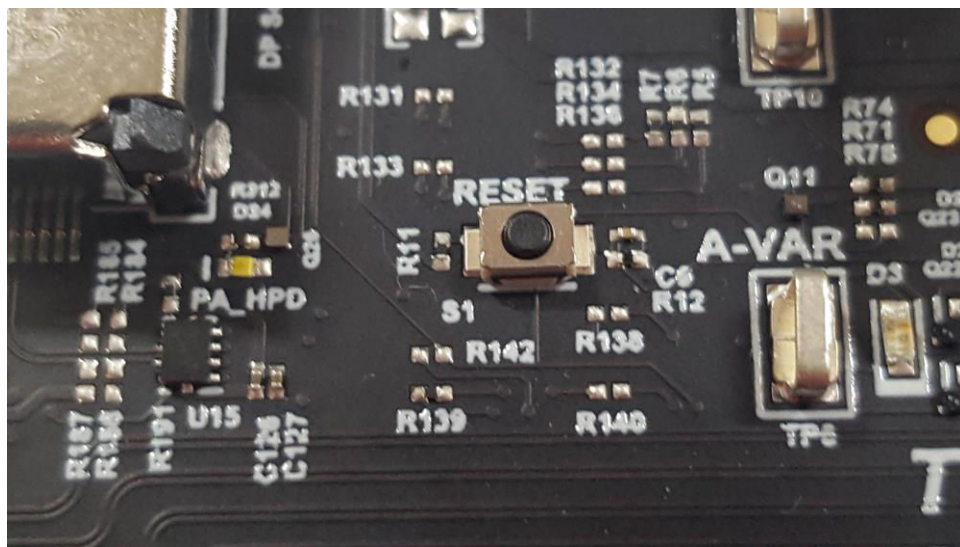


图 5-11. HRESET 按钮 (S1)

5.1.4 S6 SPI MISO 下拉按钮

S6 位于 EVM 的右上角。此按钮开关将 SPI Miso 线路固定至 GND。启动器件时使用此按钮。如果在器件正在启动时按下此按钮，TPS65988 不会从 SPI 闪存加载其配置，而是启动进入默认 ROM 配置。

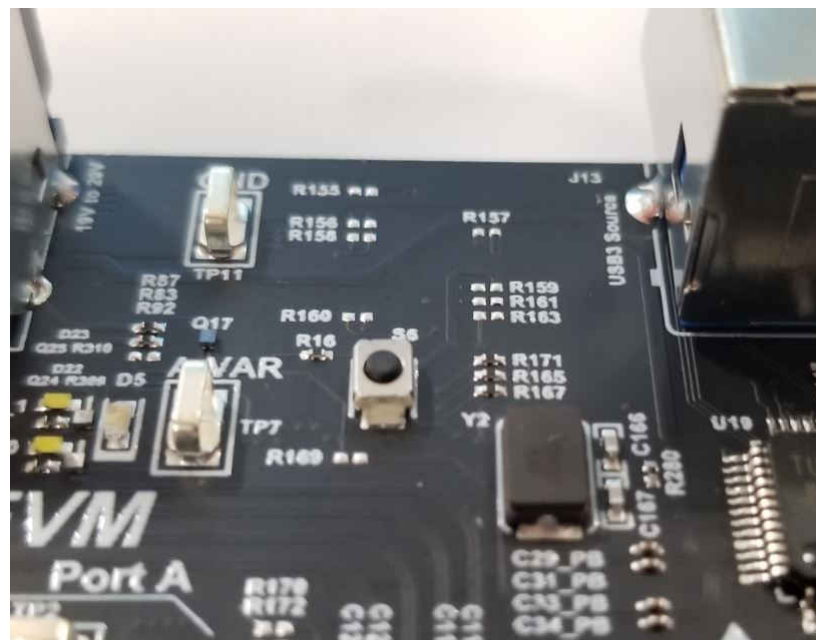


图 5-12. SPI-MISO 下拉开关

5.1.5 S3 : FTDI® 启用和禁用

DIP 开关 S3 具有 4 个开关。标有 3.3V (开关 3) 和 5V (开关 4) 的开关将电源从 FTDI 板 Micro-B 插座传递到 BoosterPack 接头 (J6)，反之亦然。强制启用 (开关 1 和开关 2) 开关控制 FTDI 器件上的复位。当开关 1 闭合时，FTDI 保持复位状态，直到 TPS65988 成功加载固件。当开关 2 闭合时，可通过 FTDI 板接头 J7 上的引脚 8 在外部复位 FTDI。默认情况下，所有开关均断开并处于向上位置。图 5-13 突出显示了这些特性。

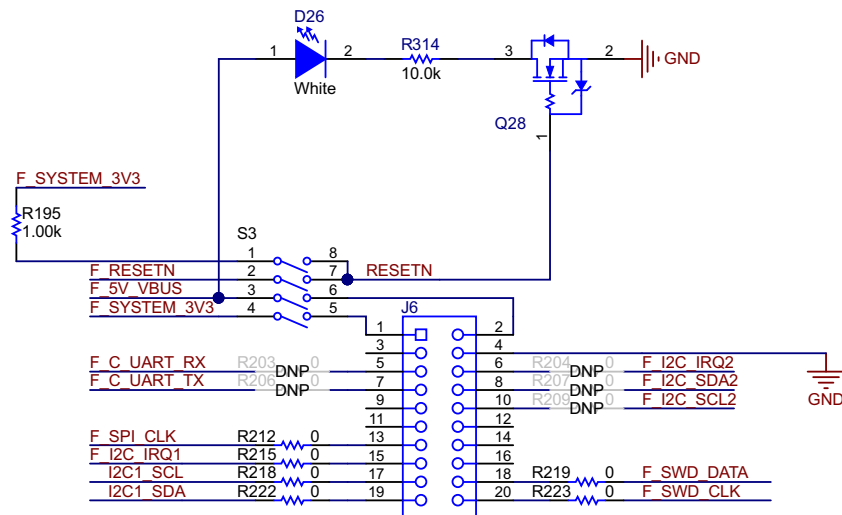


图 5-13. FTDI® DIP 开关 (S3) 原理图

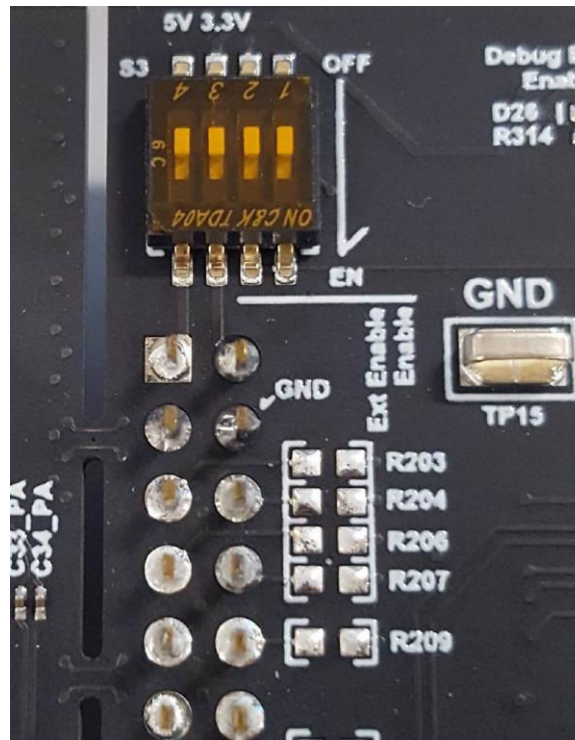


图 5-14. FTDI® DIP 开关 (S3)

5.1.6 S2 : SPI、I²C 和 BusPowerZ 配置

TPS65988EVM 具有一个 DIP 开关 (S2)，可用于配置器件的 I²C 地址和 BusPower 设置。开关 1 至开关 3 用于通过调整 ADCIN2 处的分压器来设置 TPS65988 的 I²C 地址。请参阅 TPS65988 数据表，了解不同的 I²C 地址配置。开关 1 至开关 3 的默认开关设置为断开，从而产生 0x38 I²C 地址。开关 4 至开关 6 通过调整 ADCIN1 上的分压器来调整 BusPowerZ 设置。请参阅 TPS65988 数据表，了解不同的 BusPowerZ 配置。[图 5-15 突出显示了 S2 的默认开关设置。](#)



图 5-15. I²C 和 BusPower DIP 开关 (S2)

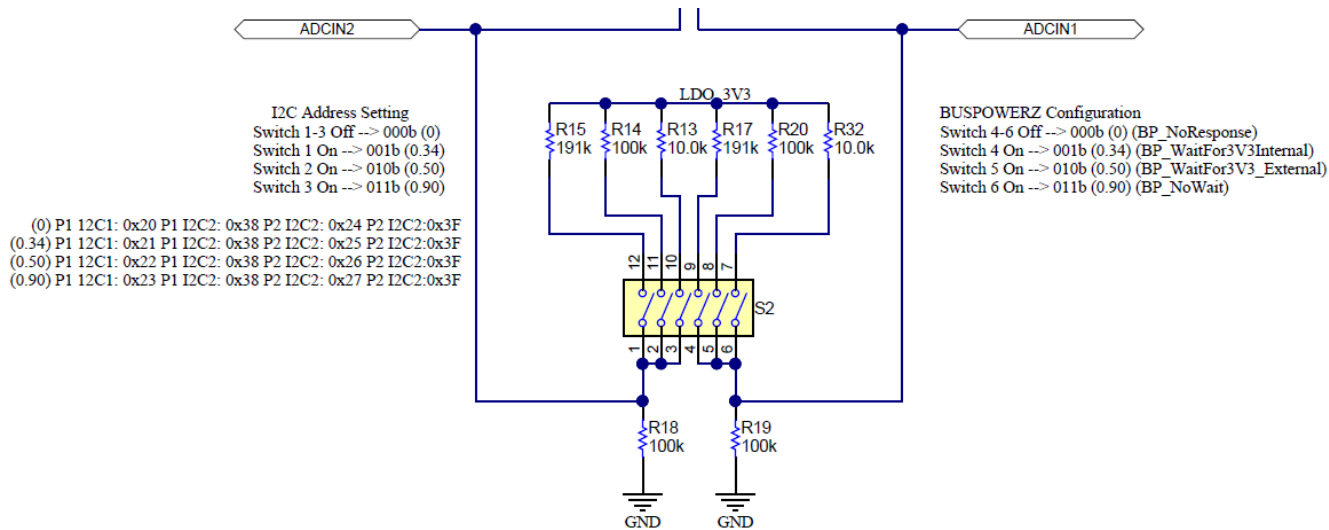


图 5-16. I²C DIP 开关 (S2) 原理图

5.1.7 J1 : 桶形插孔电源连接器

桶形插孔电源连接器接受 19V 至 20V 的直流电源。标准 Dell 或 HP 笔记本电脑适配器 (或类似适配器) 可提供所需的电源。该输入可为大功率 PD 协议提供 PP_HV 电源轨 19V 至 20V 电压，每个端口高达 60W 或总计

120W。对于大功率 PD，必须使用大于 120W 的适当电源适配器。例如，Dell® 130W 器件型号：492-BBGP。[图 5-17](#) 突出显示了这些特性。

WARNING

桶形插孔输入为高电压。

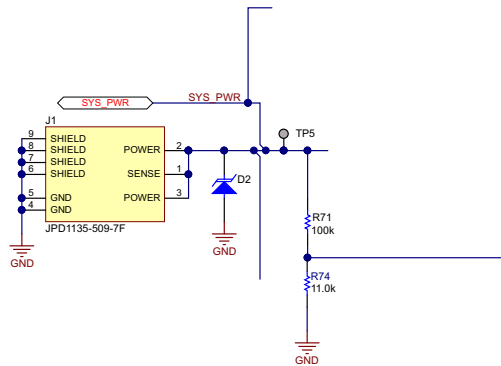


图 5-17. 桶形插孔 (J1) 原理图



图 5-18. 桶形插孔 (J1)

5.1.8 桶形插孔检测

当在当前由总线供电的 EVM 上连接桶形插孔时，TPS65988EVM 能够请求电源角色交换。采用比较器感测桶形插孔电压，此比较器驱动 TPS65988 上的 GPIO1 (BJ_DETECT)。默认情况下，桶形插孔检测处于未启用状态。若要启用桶形插孔检测，请放置 R109 并参考 *TPS65988 实用工具用户指南* 和 *TPS65988 固件用户指南*。图 5-19 突出显示了这些特性。

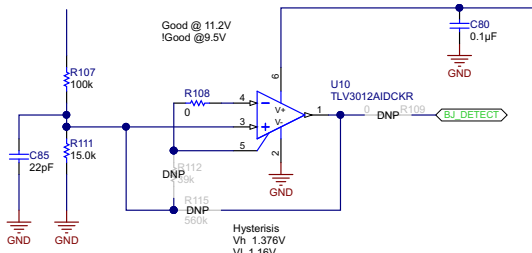


图 5-19. 桶形插孔检测原理图

5.1.9 USB Type B 连接器 (J11)

J11 是与 PC 连接的 Type-B 接头，用于测试 USB 2.0 或 USB 3.0 功能。Type-A 转 Type-B 电缆可用于将 EVM 连接到计算机上的 USB 端口。此连接器向 TPS65988EVM 上的 USB HUB 提供 USB 数据。图 5-20 至图 5-22 突出显示了这些特性。

USB3.0 Source

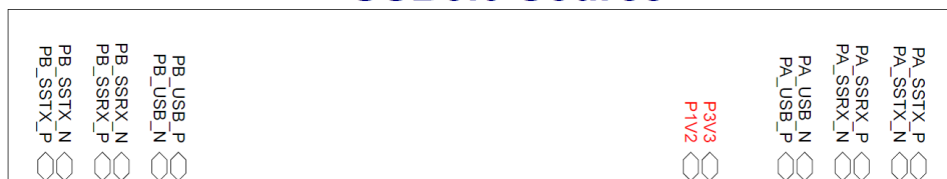


图 5-20. USB Type-B 插座 (J11) 原理图

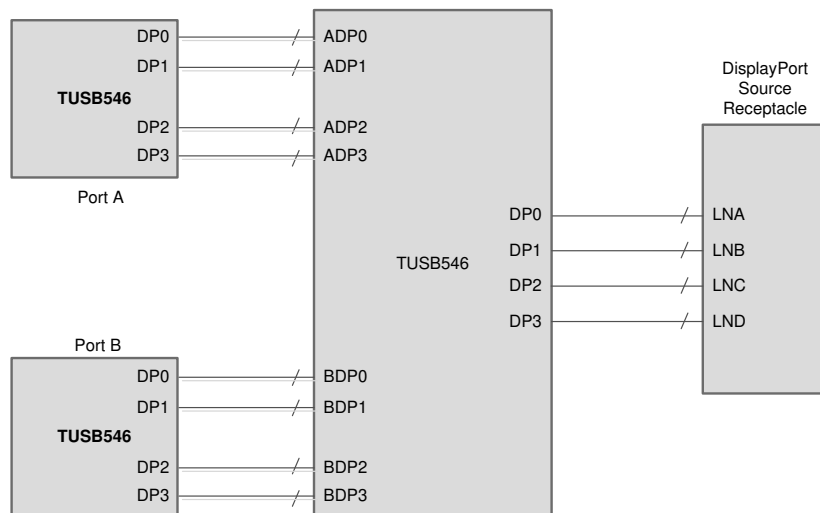


图 5-21. USB (J11) 方框图

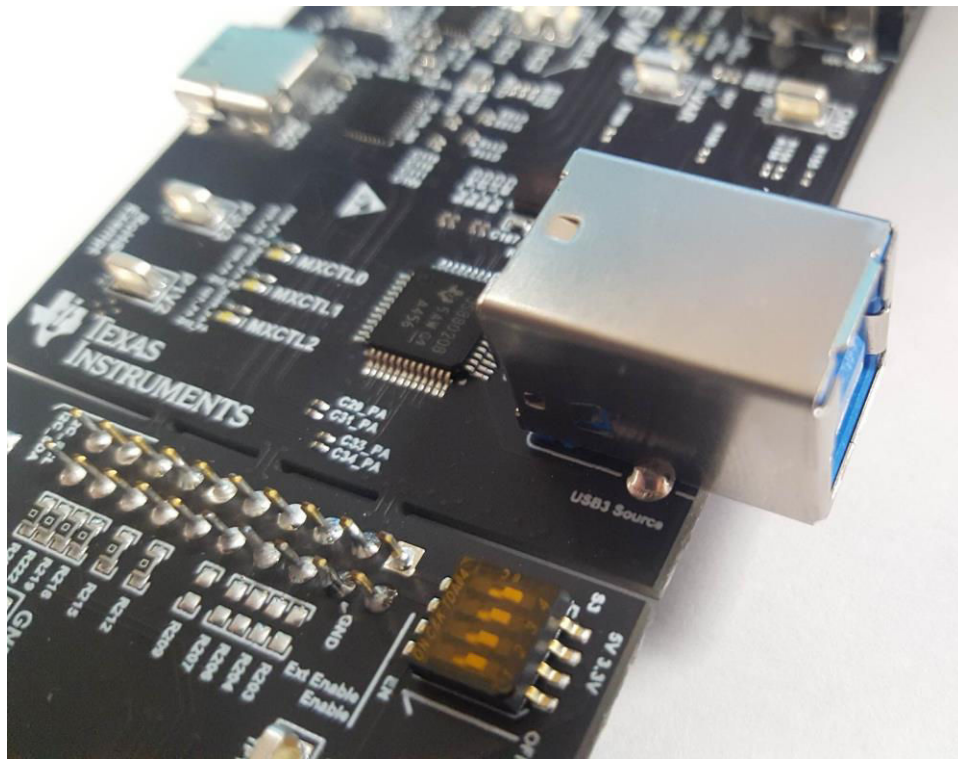


图 5-22. USB Type-B 插座 (J11)

5.1.10 USB Type-C™ 连接器 (J2)

TPS65988EVM 具有两个全功能 USB Type-C 插座 (端口 A/B) , 可以路由 VBUS、SSTX 和 SSRX 对、SBU1 和 SBU2 对以及 D+ 和 D- 信号。TPS65988 器件可采用自供电和总线供电配置 , 以增加灵活性。采用自供电时 , 该 EVM 可以通过内部高电压电源路径 , 为每个端口提供高达 60W (20V、3A) 的功率。该 EVM 还能够通过外部电源路径接收 100W (20V、5A) 的功率。内部电源路径用于提供电源 , 而外部电源路径用于接收电源。图 5-23 和图 5-24 突出显示了这些特性。

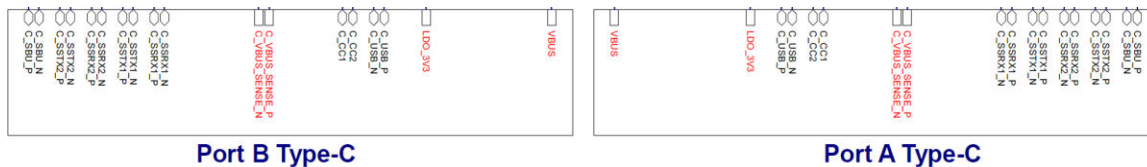


图 5-23. USB Type-C™ 插座 (J2) 原理图

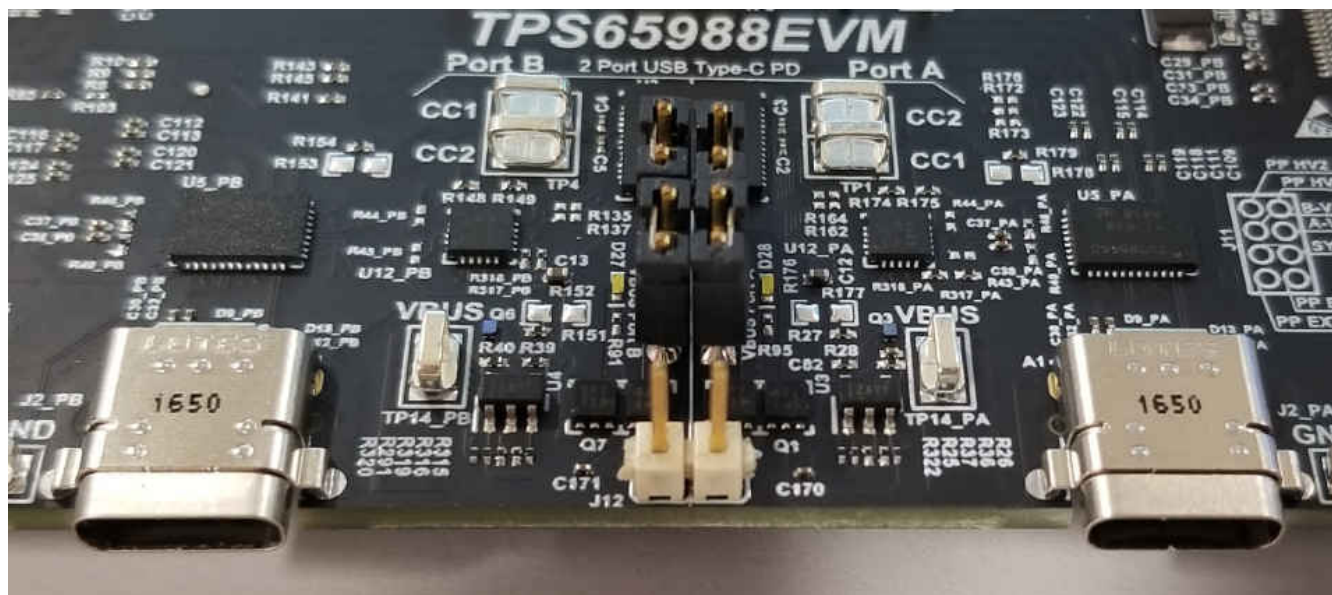


图 5-24. USB Type-C™ 插座 (J2)

5.1.11 USB Micro B 连接器 (J9)

Micro-B 插座 J9 将 FTDI 连接到 TPS65988 定制 GUI 的 PC。请使用标准的 USB Micro-B 转 Type-A 电缆进行此连接。当 FTDI 板上存在 VBUS 时，调试板启用 LED 亮起。图 5-25 和图 5-26 突出显示了这些特性。

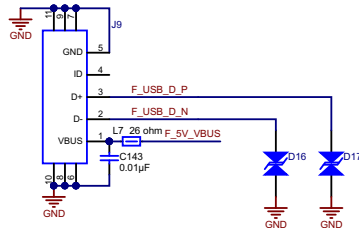


图 5-25. USB Micro-B 插座 (J9) 原理图

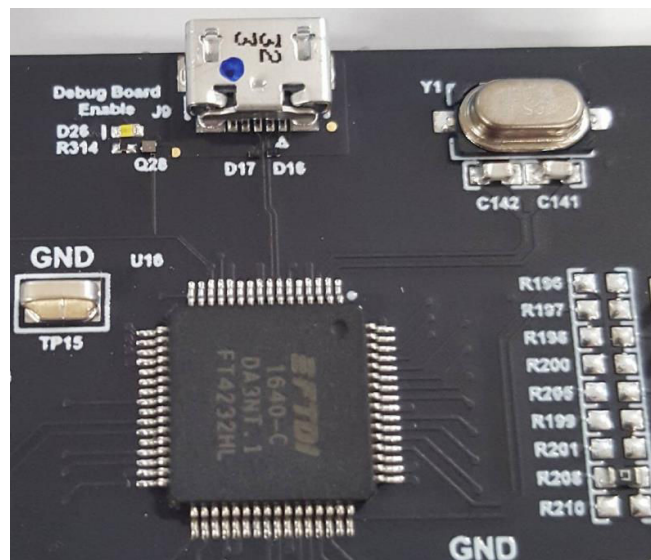


图 5-26. USB Micro-B 插座 (J9)

5.1.12 TP13 (5V)、TP8 (3.3V) 和 TP12 (1.2V)

TP13、TP8 和 TP12 测试点用于测量板载直流/直流转换器的输出电压。这些直流/直流转换器可产生所需的电压轨以支持 EVM 的全部功能（包括电力输送、为内部和外部电路供电等）。这些测试点允许用户验证 TPS65988EVM 上的系统电源。LDO_1V8 是在内部生成的，用于内部电路。使用 P3V3 先后为 VIN_3V3、LDO_3V3 供电。另外，LDO_3V3 可用作外部闪存的低功耗输出。在总线供电或自供电条件下，P3V3 和 LDO_3V3 处于运行状态。P3V3 能够在 4V 下工作，以补偿通过 USB Type-C 电缆的 IR 压降。P5V 电源可以在 100% 占空比下以 4.5V 的电压工作，但当桶形插孔或系统电源连接到 EVM 时，它旨在以 3A 的电流提供 5V 电压。P5V 为这两个端口的 PP_CABLE 以及这两个端口的 VBUS 电流检测 IC 供电。图 5-27 突出显示了这些测试点。

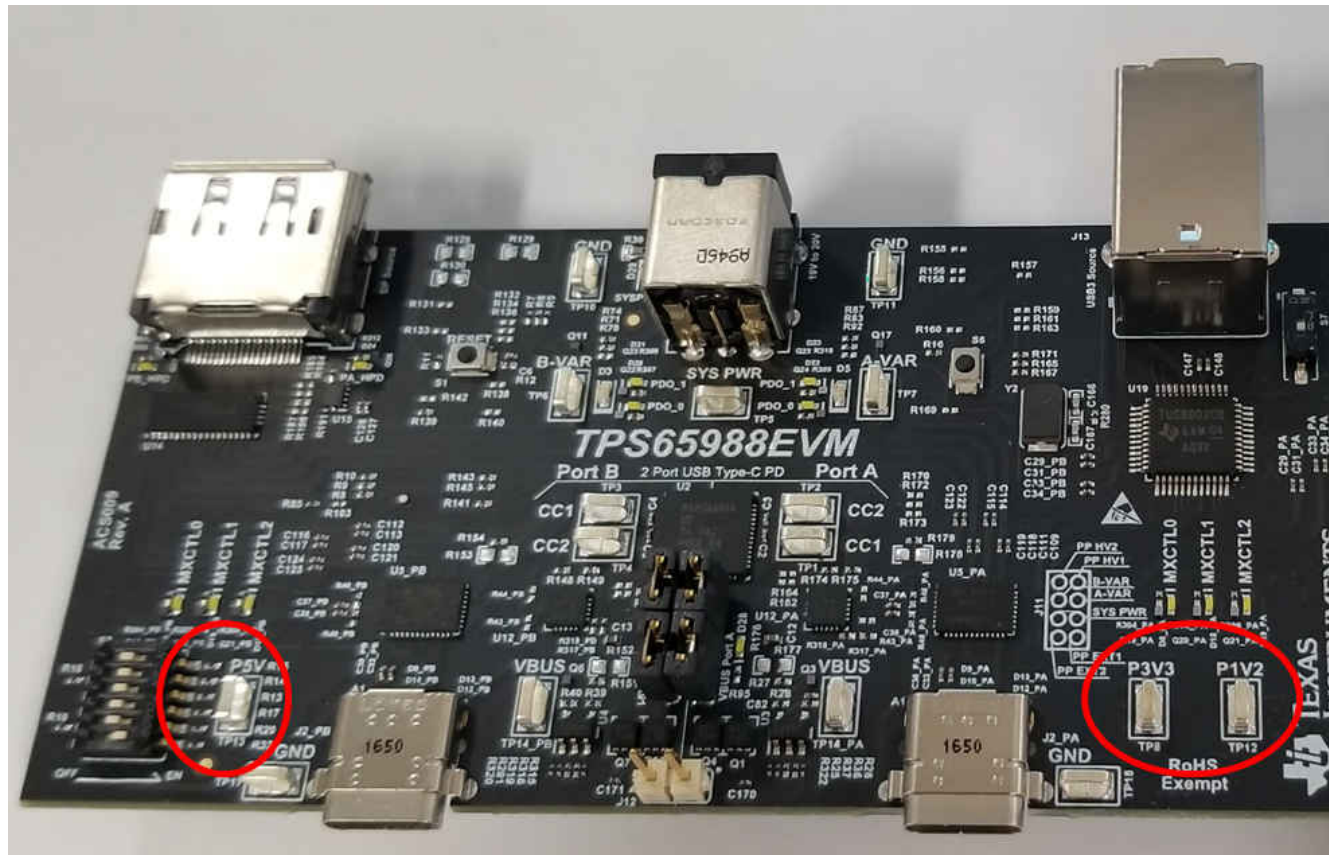


图 5-27. TP13 (5V)、TP8 (3.3V) 和 TP12 (1.2V)

5.1.13 Aardvark™ 连接器 (J10)

该连接器与 Total Phase® Aardvark 相匹配，支持用户使用 SPI 和/或 I²C 主接口访问 TPS65988EVM 上的 I²C 和 SPI 引脚。图 5-28 和图 5-29 突出显示了这些特性。

备注

通电时，FT4232 载入 I²C 或 SPI 引脚。TI 建议将强制启用开关（开关 1 和开关 2）置于禁用（向上）位置，使 FT4232 复位。

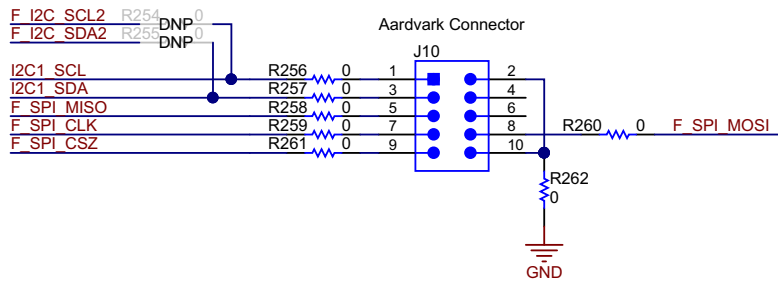


图 5-28. Aardvark™ 连接器 (J10) 原理图

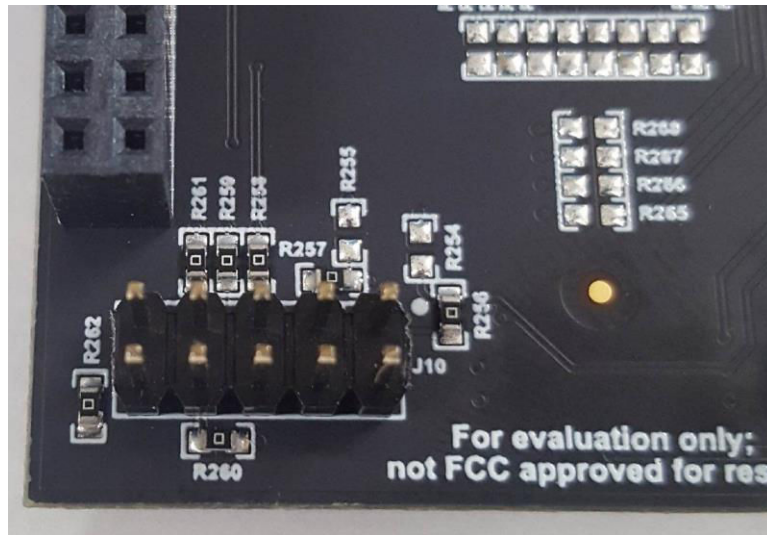


图 5-29. Aardvark™ 连接器 (J10)

5.1.14 TP10、TP11、TP15、TP16、TP17、TP18、TP9 : GND 测试点

TP15、TP16 和 TP9 GND 测试点用于连接示波器或万用表。测试点 TP10、TP11、TP17 和 TP18 (橙色圆圈内) 用于负载测试。这些测试点通过多个通孔连接到电路板的 GND 平面。图 5-30 突出显示了这些特性。

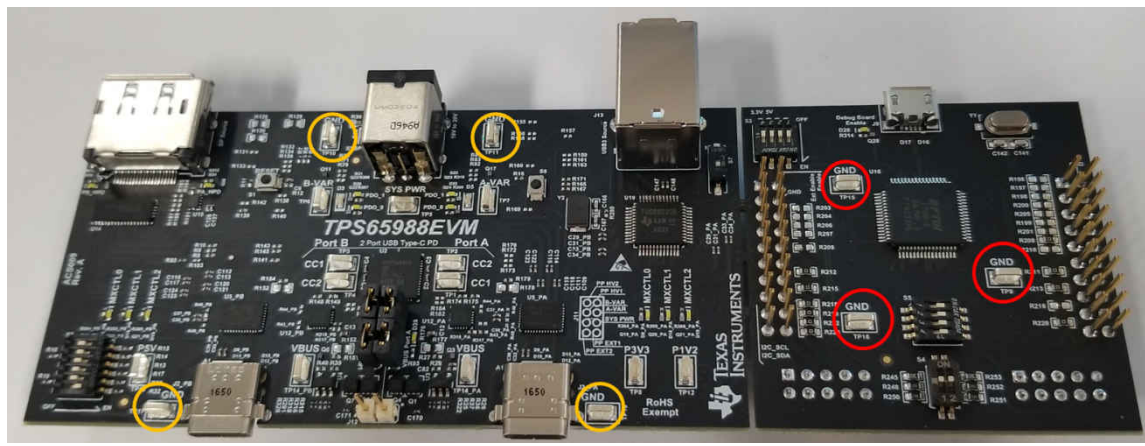


图 5-30. TP10、TP11、TP15、TP16、TP17、TP18、TP9 : GND 测试点

5.1.15 TP1、TP2、TP3 和 TP4 – CC1 和 CC2 测试点

测试点 CC1 和 CC2 用于将 PD 协议分析器与 PD BMC 数据绑定在一起，或通过示波器验证 BMC 信号完整性（取决于电缆方向）。连接带有电子标记的 USB Type-C 电缆时，请使用万用表或示波器测量 VCONN。使用这些测试点可以在 VCONN 上附加外部负载。图 5-31 和图 5-32 突出显示了这些特性。

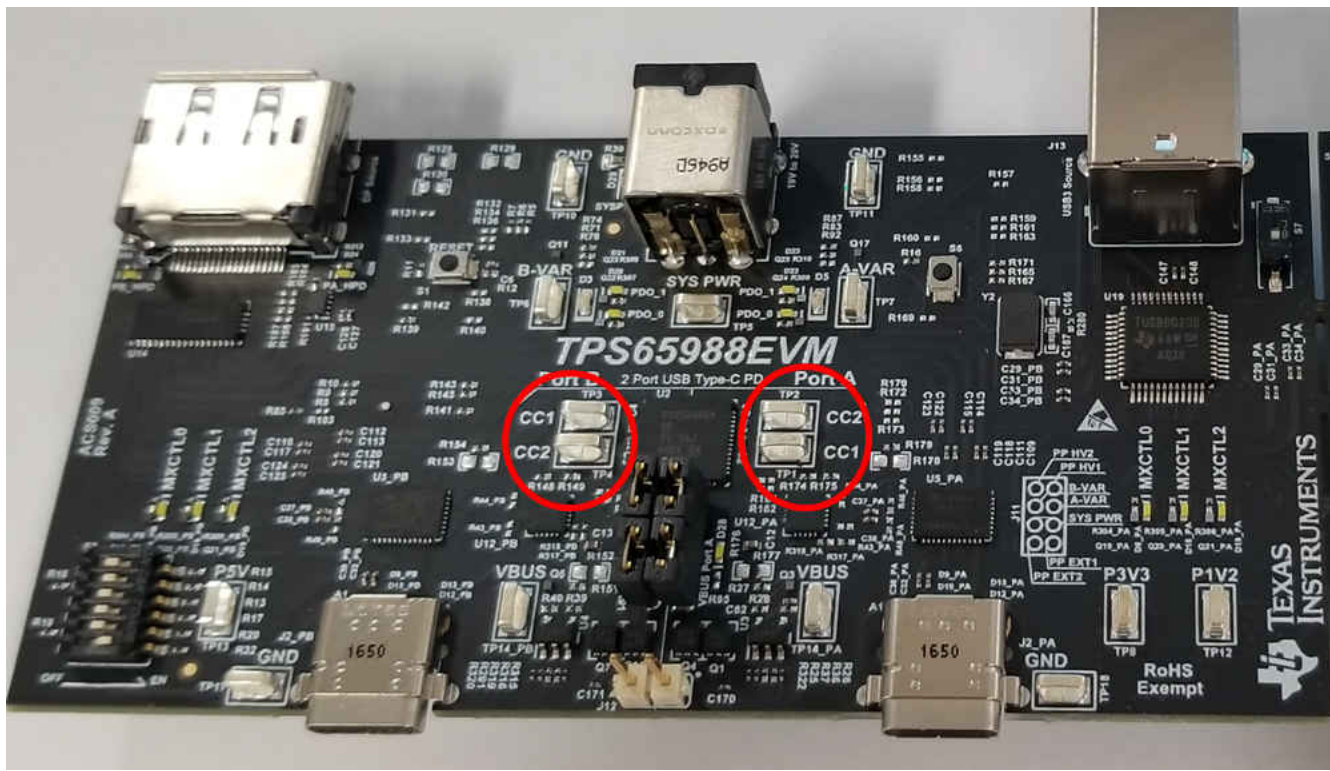


图 5-31. TP1、TP2、TP3 和 TP4 – CC1 和 CC2 测试点

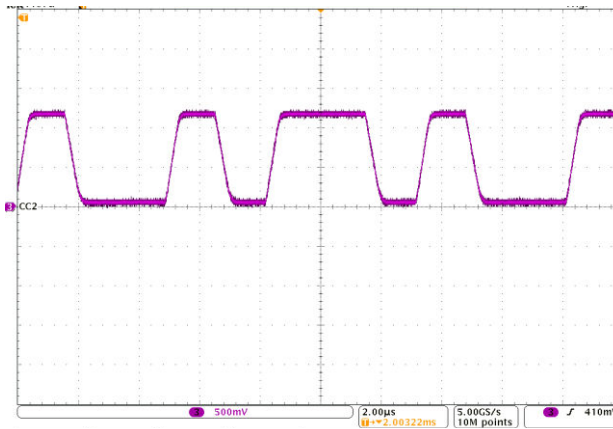


图 5-32. TPS65988 BMC 数据

5.1.16 TP14 (PA 和 PB) : VBUS 测试点

VBUS 测试点用于测量每个 USB Type-C 端口 A/B 连接器处的 VBUS。由于 PD 电源可能高达 20V，连接和断开 TPS65988EVM 上的探针时请务必小心。VBUS 测试点可为外部负载提供高达 3A 的电流。请注意，为了让 VBUS 测试点提供电流，必须协商具有必要功能的 PD 电源协议。有关配置说明，请参阅 **TPS65988 配置工具用户指南**。图 5-33 和图 5-34 突出显示了这些特性。

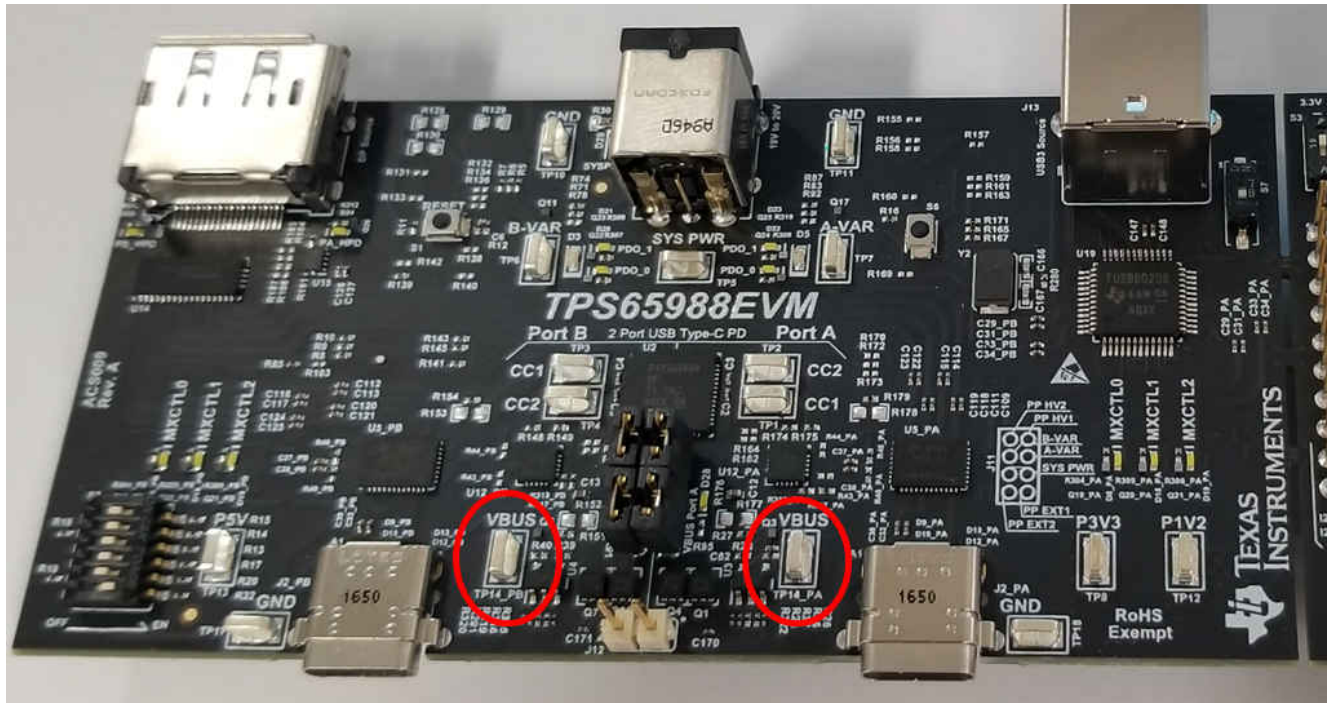


图 5-33. VBUS 测试点：TP14

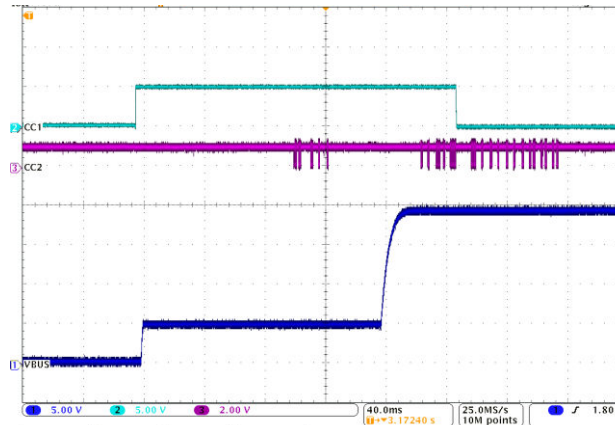


图 5-34. TPS65988 VBUS 电压转换

5.1.17 TP7、TP6 和 TP5：分别为 A-VAR、B-VAR 和系统电源测试点

测试点 A-VAR (TP7) 是端口 A 的可变直流/直流的输出。测试点 B-VAR (TP6) 是端口 B 的可变直流/直流的输出。提供的这些测试点用于连接示波器、万用表或外部电源。系统电源 (TP5) 可处于 5 - 20V 的工作范围内，任何低于 20V 的电压都会降低提供电源的能力。[图 5-35](#) 突出显示了这些特性。

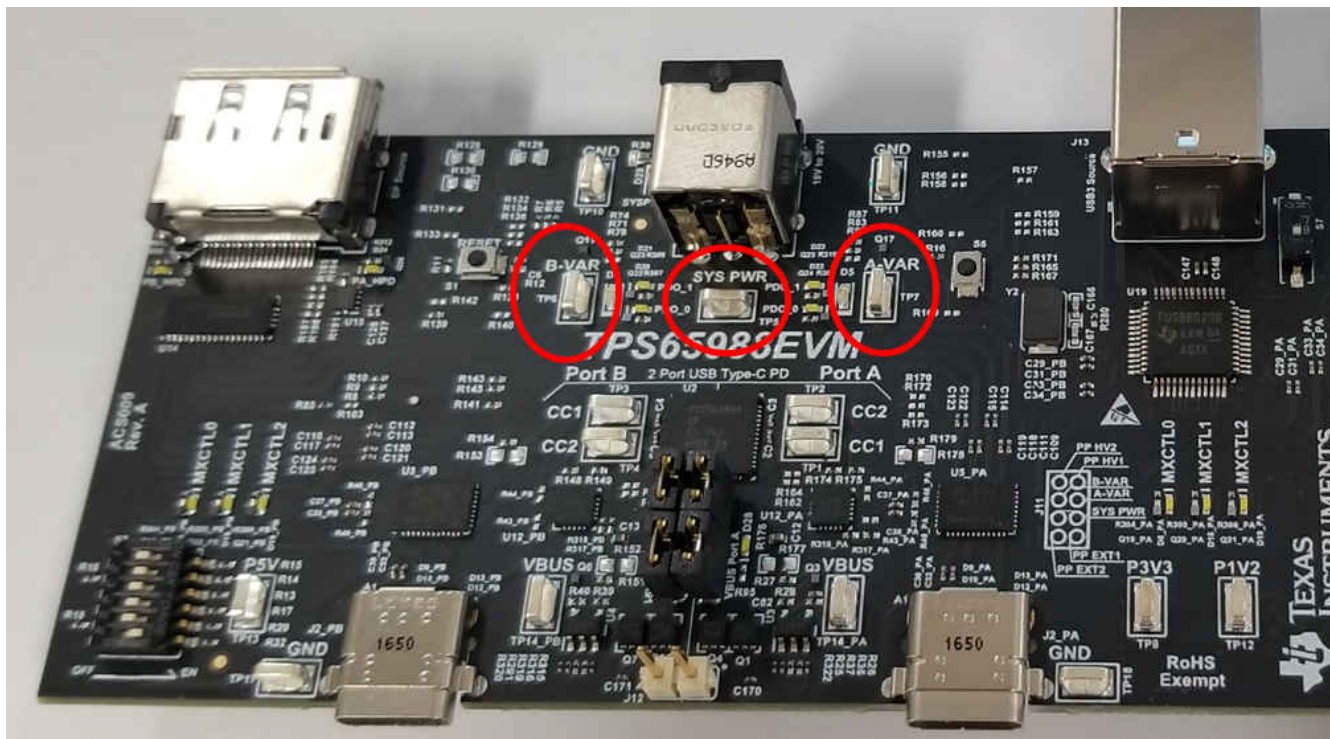
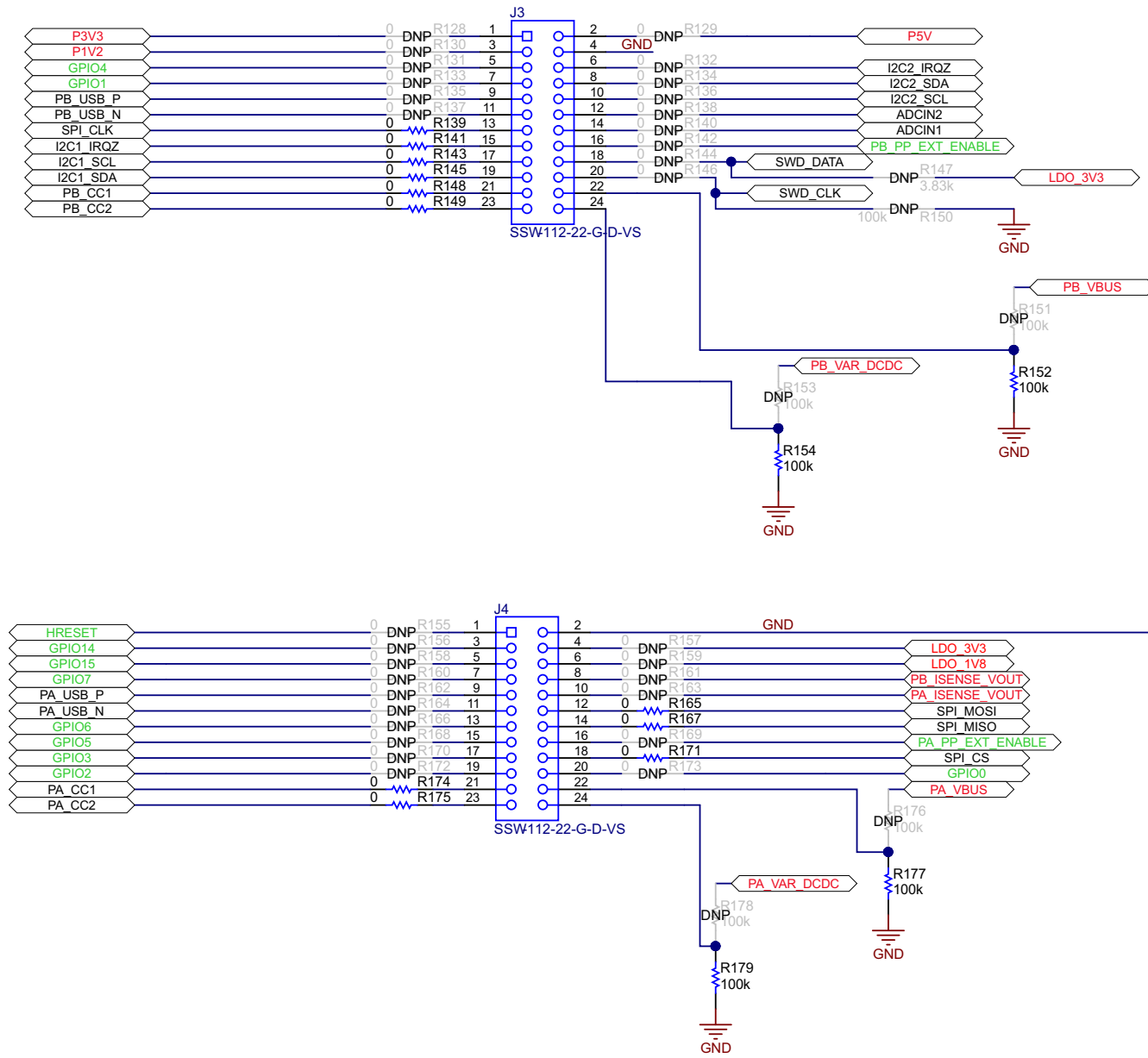


图 5-35. A-Var、B-Var 和系统电源测试点 : TP7、TP6 和 TP5

5.1.18 J3 和 J4 (EVM 底部) : 信号接头

用户可以使用这些接头来探测 TPS65988EVM 上的许多不同信号。请注意，部分插头引脚未连接，除非放置了 0Ω 电阻器。图 5-36 突出显示了这些特性。



Copyright © 2017, Texas Instruments Incorporated

图 5-36. BoosterPack™ 接头 (J3 和 J4)

5.2 LED 指示灯说明

该 EVM 具有两个 LED，可用于通知用户存在哪种类型的连接。这些 LED 分为两组：MUX 控制 LED (MXCTL0 - 2) 和状态 LED。所有 LED 均通过通用 I/O (GPIO) 启用；因此，如果要配置自定义映像，则必须通过配置来分别启用每个 LED (请参阅 *TPS65988 配置工具用户指南*)。默认情况下，当连接的设备支持 USB3.0 时，MXCTL0 LED 亮起；当进入 DisplayPort 交替模式时，MXCTL1 LED 亮起。MXCTL2 突出显示了电缆的方向。当 MXCTL2 LED 亮起时，CC2 处于连接状态。当 MXCTL2 LED 熄灭时，CC1 处于连接状态。

5.2.1 MXCTL0-2 和 HPD LED (SS MUX 控制 LED)

这些 LED 对应于任一 USB Type-C 端口上 SS MUX 所需的 MUX 控制信号。图 5-37、图 5-38 和表 5-1 突出显示了这些特性，表 5-1 和表 5-2 总结了 LED 行为。

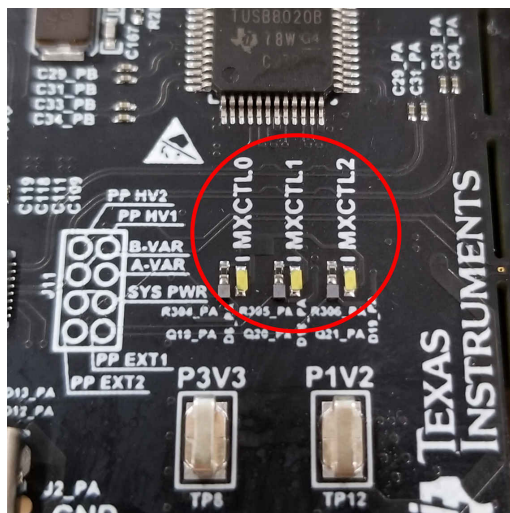


图 5-37. MUX 控制 LED

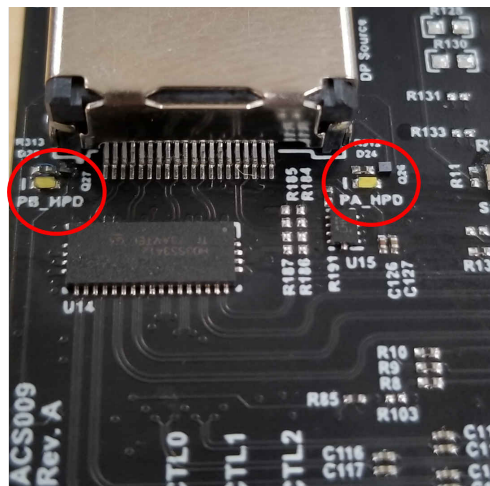


图 5-38. HPD 端口 A/B LED

表 5-1. 端口 A SS MUX 控制 LED 功能

| LED 指示灯 | GPIO | 功能 |
|--------------|-------|------------|
| D6 - MXCTL0 | GPIO6 | USB 3.0 事件 |
| D18 - MXCTL1 | GPIO5 | DP 模式事件 |
| D19 - MXCTL2 | GPIO7 | 电缆方向事件 |
| D24 - PA_HPD | GPIO3 | HPD |

表 5-2. 端口 B SS MUX 控制 LED 功能

| LED 指示灯 | GPIO | 功能 |
|--------------|--------|------------|
| D6 - MXCTL0 | GPIO_1 | USB 3.0 事件 |
| D18 - MXCTL1 | GPIO_0 | DP 模式事件 |
| D19 - MXCTL2 | GPIO_2 | 电缆方向事件 |
| D25 - PB_HPD | GPIO_4 | HPD |

5.2.2 状态 LED

LED D5 和 D3 分别用于端口 A 和端口 B 上的可变直流/直流。给 EVM 上电时，这些 LED 亮起蓝色。它们还提供 PD 协议（从高到低）的电压放电路径。对于更高电压的 PD 协议，D5 和 D3 更亮。图 5-39 突出显示了这些特性，表 5-3 总结了 LED 行为。

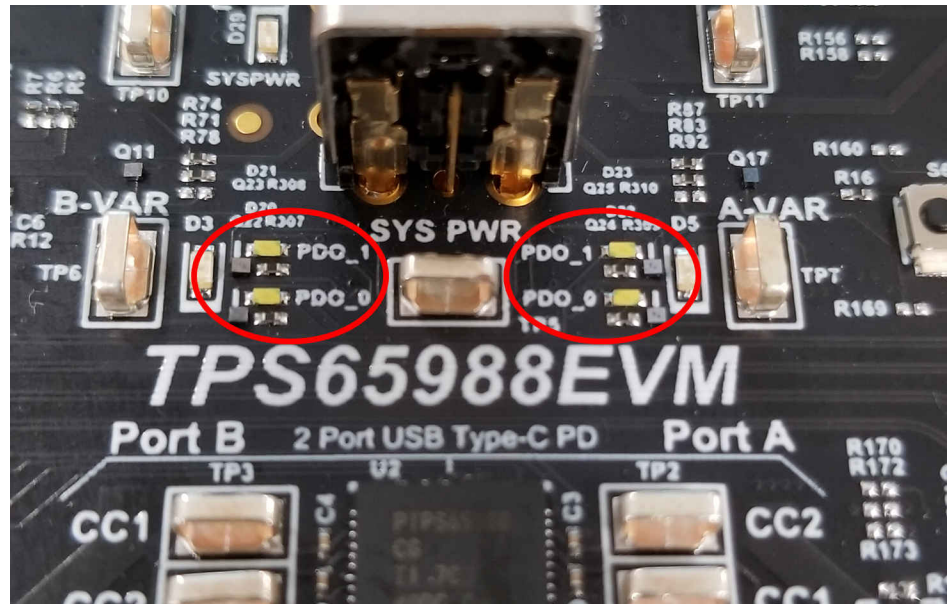


图 5-39. PDO 端口 A/B LED

表 5-3. 可变直流/直流控制端口 A/B 功能

| LED 指示灯 | GPIO | 功能 |
|------------------|---------|------------|
| D20 - PA_PDO0 | GPIO_12 | PDO TT 位 0 |
| D21 - PA_PDO1 | GPIO_13 | PDO TT 位 1 |
| D23 - PB_PDO1 | GPIO_14 | PDO TT 位 1 |
| D22 - PB_PDO0 | GPIO_15 | PDO TT 位 0 |
| D5 - PA_VAR_DCDC | GPIO_16 | VAR-A 启用 |
| D3 - PB_VAR_DCDC | GPIO_17 | VAR-B 启用 |

表 5-4 中的 PDO LED 为高电平，具体取决于协商的 PDO。通过激活这些 LED，可以改变可变直流/直流的输出电压。表 5-4 总结了 PDO LED 的行为。

表 5-4. PDO LED 0 和 PDO LED 1 真值表

| PDO | PDO LED 1 | PDO LED 0 | R1 | R2 | 输出电压 |
|-------------|-----------|-----------|---------|---------|--------|
| PDO 1 (5V) | 0 | 0 | 60.4k Ω | 19.1k Ω | 5.15V |
| PDO 2 (9V) | 0 | 1 | 60.4k Ω | 9.27k Ω | 9.26V |
| PDO 3 (15V) | 1 | 0 | 60.4k Ω | 5.2k Ω | 15.62V |
| PDO 4 (20V) | 1 | 1 | 60.4k Ω | 4.04k Ω | 19.78V |

5.2.3 S2 开关组功能

I²C 地址设置必须与 TPS65988 配置工具生成的配置一致。表 5-5 总结了 I²C 地址设置。若要调整电池电量耗尽启动行为，可以调整 ADCIN1 上的设置。表 5-6 总结了 ADCIN1 设置。TPS65988 数据表中讨论了每个分压比的具体设置。

表 5-5. I²C 地址设置

| 开关 | 闭合，断开 | 位 | 分压比 |
|-----|-------|------|------|
| 1-3 | 断开 | 000b | 0.00 |
| 1 | 闭合 | 001b | 0.34 |
| 2 | 闭合 | 010b | 0.50 |
| 3 | 闭合 | 011b | 0.90 |

表 5-6. ADCIN1 设置

| 开关 | 闭合，断开 | 位 | 分压比 |
|-----|-------|------|------|
| 4-6 | 断开 | 000b | 0.00 |
| 4 | 闭合 | 001b | 0.34 |
| 5 | 闭合 | 010b | 0.50 |
| 6 | 闭合 | 011b | 0.90 |

6 使用 TPS65988EVM

本节介绍了预加载或恢复固件、使用入门和调试 EVM。

6.1 为 TPS65988EVM 供电

该 EVM 的主电源来自桶形插孔 (J1) , 可通过桶形插孔适配器接受 19V 至 20V 电压。还可以在 SYS_PWR (TP5) 上使用外部电源为该 EVM 供电。输入电压范围为 5V 至 20V , 但应使用配置工具在固件中为 PP_HV 配置适当的功率分布。

该 EVM 还可以通过 USB Type-C 连接器由总线供电 , 并根据接收端配置的不同 , 接受 5V 至 20V 的 VBUS 电压。

6.2 固件配置

TPS65988EVM 开箱即用 , 配置为用于仿真双端口笔记本电脑。这两个端口用于提供或接收电源 , 并且它们都是数据 DFP。如果需要不同的配置来测试系统时 , 请使用 *TPS65988 Application Configuration GUI* 工具创建配置或加载不同的配置模板。

7 连接 EVM

7.1 连接到各种设备

可以使用各种 USB Type-C 电缆将 EVM 连接到传统 Type-A 设备、传统 Type-A 主机或者 USB Type-C 设备或主机。

7.1.1 连接到传统 Type-A 设备

使用 USB Type-C 转 Type-A 电缆可以连接到传统 USB 设备，例如闪存驱动器。通过使用 SS MUX 和 USB HUB，TPS65988 可以用作主机（通过 DP 或 USB 即可连接）。图 7-1 显示了笔记本电脑、DP 和 USB 插座、TPS65988EVM、电缆和闪存驱动器的连接方式。

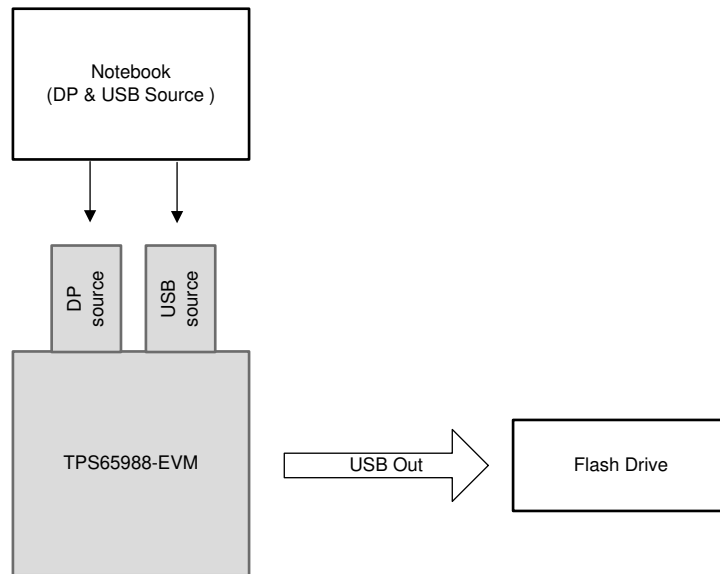


图 7-1. 将 EVM 连接到 Type-A 设备

7.1.2 连接到 USB Type-C™ 设备

使用 USB Type-C 电缆可以连接到 USB 和 DP 设备。图 7-2 显示了源装置如何连接到 DP 或支持 USB 数据的设备，例如 USB Type-C 或 Type-A 闪存驱动器、USB Type-C 转 DP 直接插入式端口 A/B、Type-A 闪存驱动器、USB Type-C 转 DP、HDMI 加密狗或 USB Type-C 对接系统。

备注

TPS65988 只能是 DP 和 USB 3.0 主机或源端。

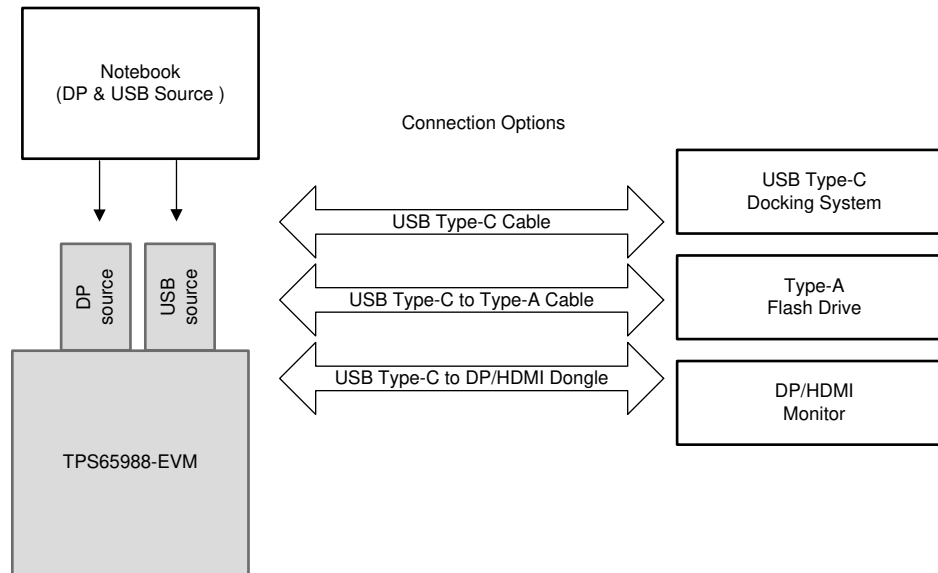


图 7-2. 将 EVM 连接到 USB Type-C™ 设备

7.1.3 测试 DisplayPort™ 交替模式以及 USB 2.0 和 USB 3.0

可使用非 USB Type-C 笔记本电脑来测试 DisplayPort 交替模式，从而允许用户模拟 DisplayPort DFP_D (视频发送器) 或 UFP_D (视频接收器)。

7.1.3.1 所需硬件

为了测试 DP 交替模式和 USB 3.0，需要以下硬件：

- 配备 USB Type-A 插座和 DisplayPort 视频输出端口的 Microsoft® Windows® PC
 - USB 2.0 或 USB 3.0 Type-A 转 Type-B 电缆
 - USB 2.0 或 USB 3.0 或 USB Type-C 闪存驱动器
 - USB 2.0 Type-A 转 Micro USB 电缆
- USB Type-C 电缆
- 配备 DisplayPort 输入端口的监视器
- Mini DisplayPort 转 DisplayPort 电缆或 USB Type-C 转 DisplayPort 电缆
- FTDI 板 (用于对 TPS65988EVM 进行编程并连接配置工具)
- Dell 笔记本电脑电源 (型号 492-BBGP)

使用 TPS65988EVM，通过默认固件测试 DP 交替模式以及 USB 数据。为此，通过 EVM 上的 DP 插座将笔记本电脑上的 DP 源端连接到 TPS65988EVM。接下来，将 USB Type-B 转 USB Type-A 电缆从 TPS65988EVM 连接到 Windows 计算机。若要测试 DP，请将 USB Type-C 转 DP 电缆从其中一个 USB Type-C 端口连接至 DP 监视器。若要测试 USB 功能，请将 USB Type-C 闪存驱动器连接到 TPS65988EVM 上的另一个 USB Type-C 端口。监视器会显示来自 DP 源端的信号。闪存驱动器会在 Windows PC 上进行枚举。[表 7-1](#) 解释了此测试设置。

表 7-1. DisplayPort™ 和 USB 测试设置

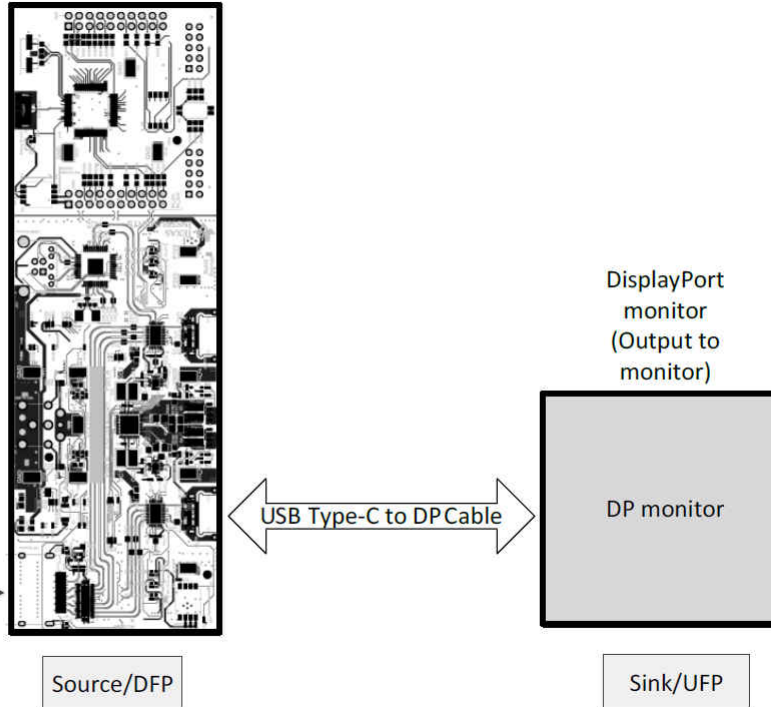
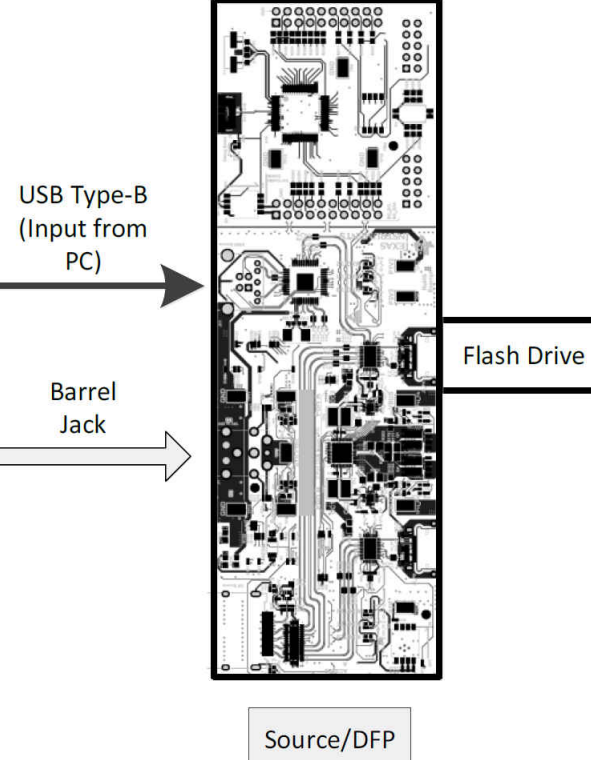
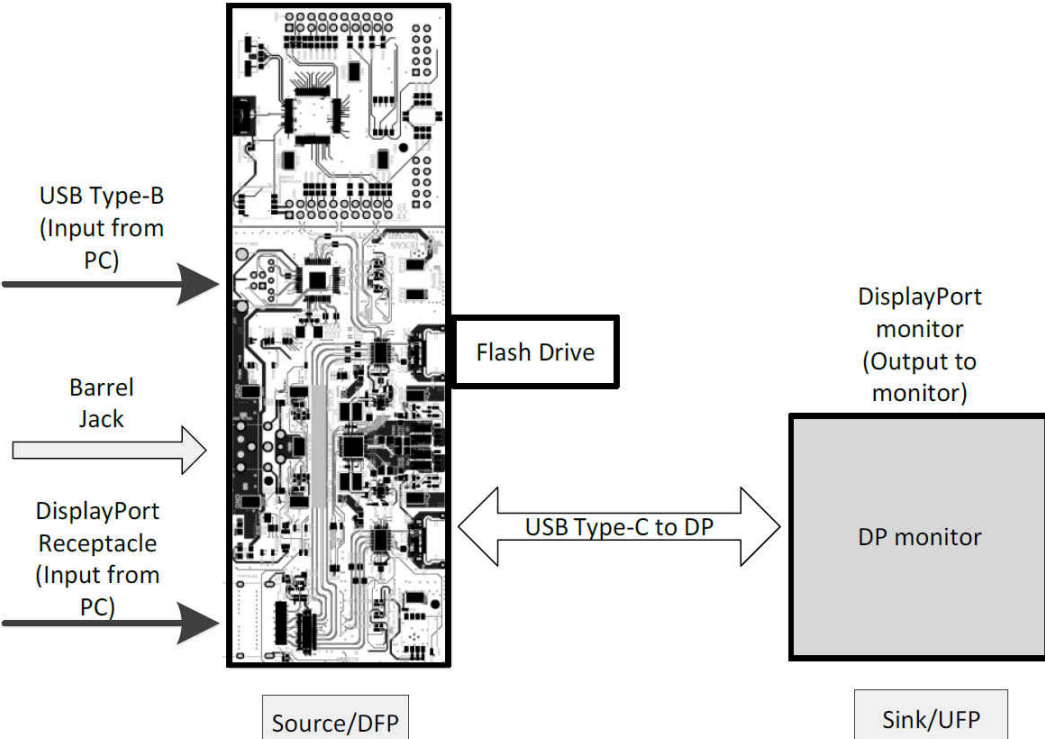
| 测试设置 | 通过标准 |
|--------------------------------------|--|
| 可通过 USB Type-C 转 DP 电缆从端口 A/B 连接 DP。 |  <p>Barrel Jack</p> <p>DisplayPort Receptacle (Input from PC)</p> <p>Source/DFP</p> <p>DisplayPort monitor (Output to monitor)</p> <p>DP monitor</p> <p>Sink/UFP</p> |
| 可通过 Type-C 闪存驱动器将 USB 直接连接到端口 A/B |  <p>USB Type-B (Input from PC)</p> <p>Barrel Jack</p> <p>Source/DFP</p> <p>Flash Drive</p> |

表 7-1. DisplayPort™ 和 USB 测试设置 (continued)

| 测试设置 | 通过标准 | | | | | | | | | | | | | | | | | | |
|--|---|----------------|-------|----------------|--------|------|------|--------|------|------|--------|-----|-------|-----|---------|-----|---------|---|--------|
| 从 DP 连接一根 Type C 电缆，同时可使用右侧的 TPS65988EVM 设置测试 USB。 |  | | | | | | | | | | | | | | | | | | |
| 观察 TPS65988EVM LED。 | <table border="1"> <thead> <tr> <th>LED 名称</th> <th>事件映射</th> <th>源端 x988 LED 状态</th> </tr> </thead> <tbody> <tr> <td>MXCTL0</td> <td>USB3</td> <td>亮起</td> </tr> <tr> <td>MXCTL1</td> <td>DP</td> <td>亮起</td> </tr> <tr> <td>MXCTL2</td> <td>POL</td> <td>亮起/熄灭</td> </tr> <tr> <td>HPD</td> <td>X</td> <td>亮起</td> </tr> <tr> <td>可变直流/直流</td> <td>X</td> <td>A/B 亮起</td> </tr> </tbody> </table> | LED 名称 | 事件映射 | 源端 x988 LED 状态 | MXCTL0 | USB3 | 亮起 | MXCTL1 | DP | 亮起 | MXCTL2 | POL | 亮起/熄灭 | HPD | X | 亮起 | 可变直流/直流 | X | A/B 亮起 |
| LED 名称 | 事件映射 | 源端 x988 LED 状态 | | | | | | | | | | | | | | | | | |
| MXCTL0 | USB3 | 亮起 | | | | | | | | | | | | | | | | | |
| MXCTL1 | DP | 亮起 | | | | | | | | | | | | | | | | | |
| MXCTL2 | POL | 亮起/熄灭 | | | | | | | | | | | | | | | | | |
| HPD | X | 亮起 | | | | | | | | | | | | | | | | | |
| 可变直流/直流 | X | A/B 亮起 | | | | | | | | | | | | | | | | | |
| 检查 DP 监视器上的视频，并验证 USB 闪存驱动器会在 PC 上进行枚举。 | 成功地将文件复制和粘贴到 USB 闪存驱动器以及从 USB 闪存驱动器复制和粘贴文件。将 PC 扩展到 DP 监视器并播放视频以验证视频流。 | | | | | | | | | | | | | | | | | | |
| 验证 DP 源端电路板上的电压。 | <table border="1"> <thead> <tr> <th>源端测试点</th> <th>测试点名称</th> <th>电压</th> </tr> </thead> <tbody> <tr> <td>TP12</td> <td>P1V2</td> <td>1.2V</td> </tr> <tr> <td>TP8</td> <td>P3V3</td> <td>3.3V</td> </tr> <tr> <td>TP13</td> <td>P5V</td> <td>5V</td> </tr> <tr> <td>TP5</td> <td>SYS_PWR</td> <td>20V</td> </tr> </tbody> </table> | 源端测试点 | 测试点名称 | 电压 | TP12 | P1V2 | 1.2V | TP8 | P3V3 | 3.3V | TP13 | P5V | 5V | TP5 | SYS_PWR | 20V | | | |
| 源端测试点 | 测试点名称 | 电压 | | | | | | | | | | | | | | | | | |
| TP12 | P1V2 | 1.2V | | | | | | | | | | | | | | | | | |
| TP8 | P3V3 | 3.3V | | | | | | | | | | | | | | | | | |
| TP13 | P5V | 5V | | | | | | | | | | | | | | | | | |
| TP5 | SYS_PWR | 20V | | | | | | | | | | | | | | | | | |

如果监视器上显示视频，则确认进入 DP 交替模式。同样，如果连接的 PC 可以读取 USB 闪存驱动器，则确认 USB 数据功能正常。可以通过观察处于高电平状态的 LED MUX_CTRL0 来确认 USB 3.0 数据。

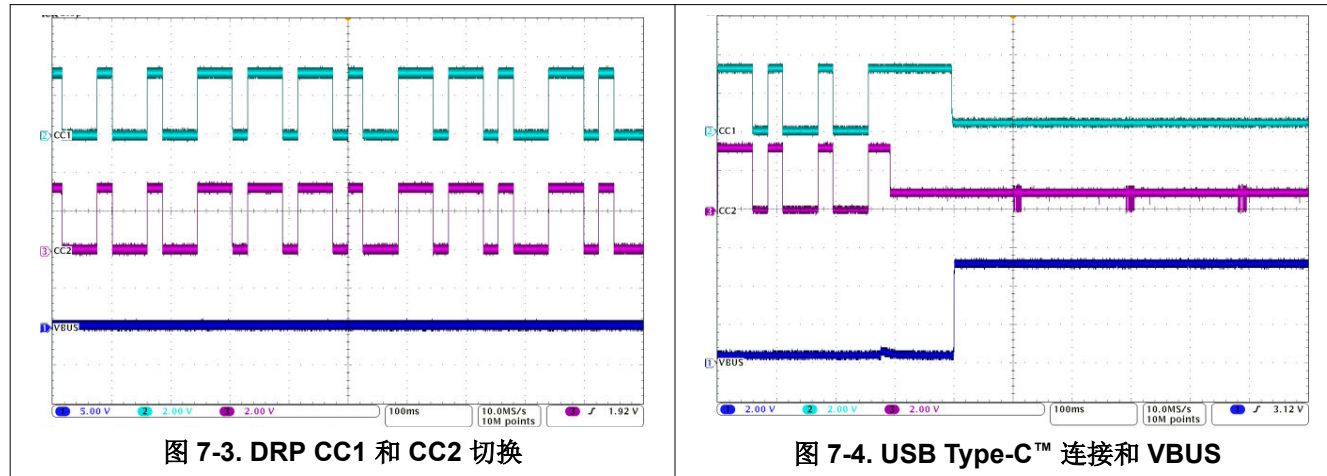
7.2 调试 EVM

本节讨论了各种调试示例。在 EVM 上使用的测试和调试方法可应用于实际系统，以帮助发现任何问题。

7.2.1 未建立连接

以下检查有助于解决将该 EVM 连接到另一个 EVM 或 USB Type-C 设备时状态 LED 不亮的问题：

- 使用 **TPS65988 配置工具** 确认已在 TPS65988 上加载固件映像
- 确认 CC 线路切换为双角色端口功能（请参阅图 7-3）
- 验证以下系统电源：
 - System_3V3 和 VIN_3V3 : 3.3V
 - System_5V 和 PP_CABLE : 5V
 - 桶形插孔和 SYS_PWR : 20V
 - LDO_3V3 : 3.3V
 - LDO_1V8 : 1.8V
- 确认连接的设备兼容。以下是一些兼容的连接：
 - 双角色端口 → UFP
 - 双角色端口 → DFP
 - DFP → UFP
- 连接后确认 VBUS 达到 5V（请参阅图 7-4）



7.2.2 复位行为

错误配置和短路会导致 USB Type-C PD 系统不断复位。应通过以下检查来调试这些问题：

- 确认基本电源路径具有正确的电压：
 - System_3V3 和 System_5V
 - 系统电源：20V（或配置的适当电压）
- 检查 VBUS、CC1 和 CC2 是否有异常。图 7-5 所示为电源协议。
- VBUS 短路时，VBUS 上的初始 5V 电压不存在
- 插入时检查 VBUS 上是否有小幅电压尖峰，从而确认一旦检测到过流情况，PP_HV 或 PP_EXT 开关便会闭合并且随后会断开。

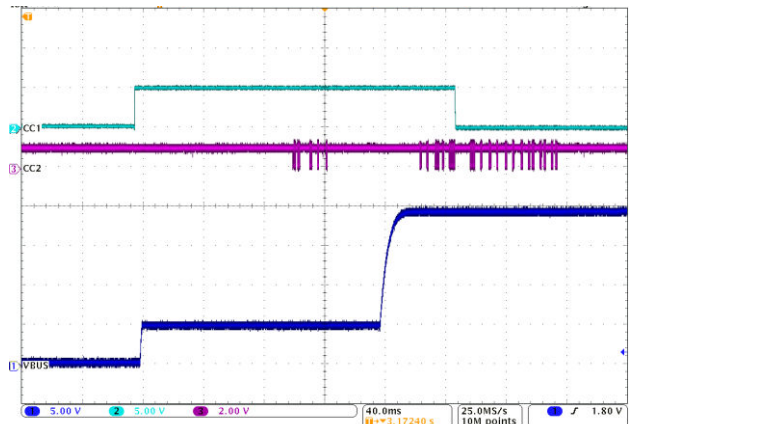


图 7-5. USB Type-C™ 连接和 PD 协商

8 REACH 合规性

按照 EU REACH 法规第 33 条的规定，特告知用户，此 EVM 的元件中至少含有一种含量高于 0.1% 的高度关注物质 (SVHC)。在德州仪器 (TI)，这种物质的年使用量不超过 1 吨。表 8-1 中显示了 SVHC。

表 8-1. REACH 合规性

| 元件制造商 | 元件器件型号 | SVHC 物质 | SVHC CAS (如果有) |
|---------|----------------------|---------|----------------|
| Abracon | ABM3-24.000MHZ-D2Y-T | 三氧化二硼 | 1303-86-2 |
| Abracon | ABM3-24.000MHZ-D2Y-T | 氧化铅 | 1317-36-8 |

9 TPS65988EVM 原理图

图 9-1 展示了 TPS65988EVM 主要元件的方框图。主要模块包含端口 A/B 控制 MUX 和 SS MUX、USB HUB、电源路径、电源、USB Type-C 插座、处理器、BoosterPack 接头和硬件。

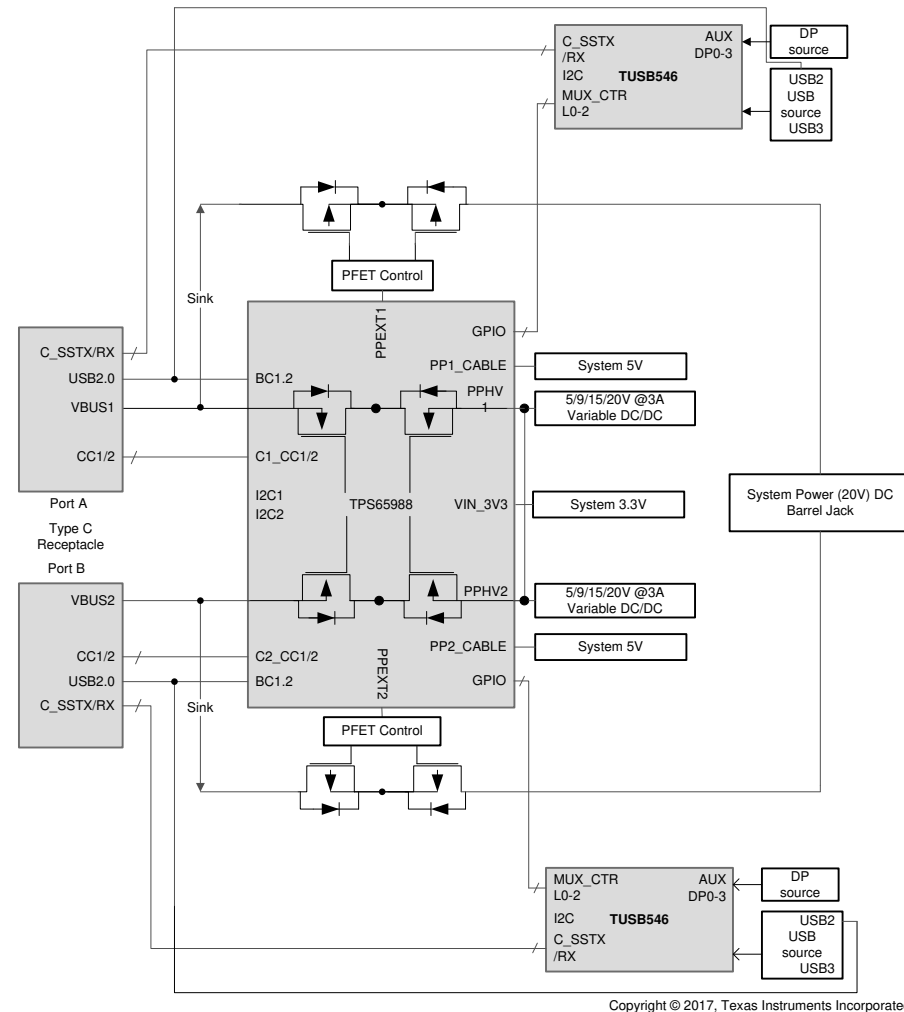


图 9-1. TPS65988EVM 方框图

图 9-2 展示了显示 USB Type-C PD 控制器的处理器模块，包含与 GPIO、D+ 和 D-、CC1 和 CC2、HRESET、I²C 线路、闪存 SPI 以及 ADC1 和 ADC2 的连接。

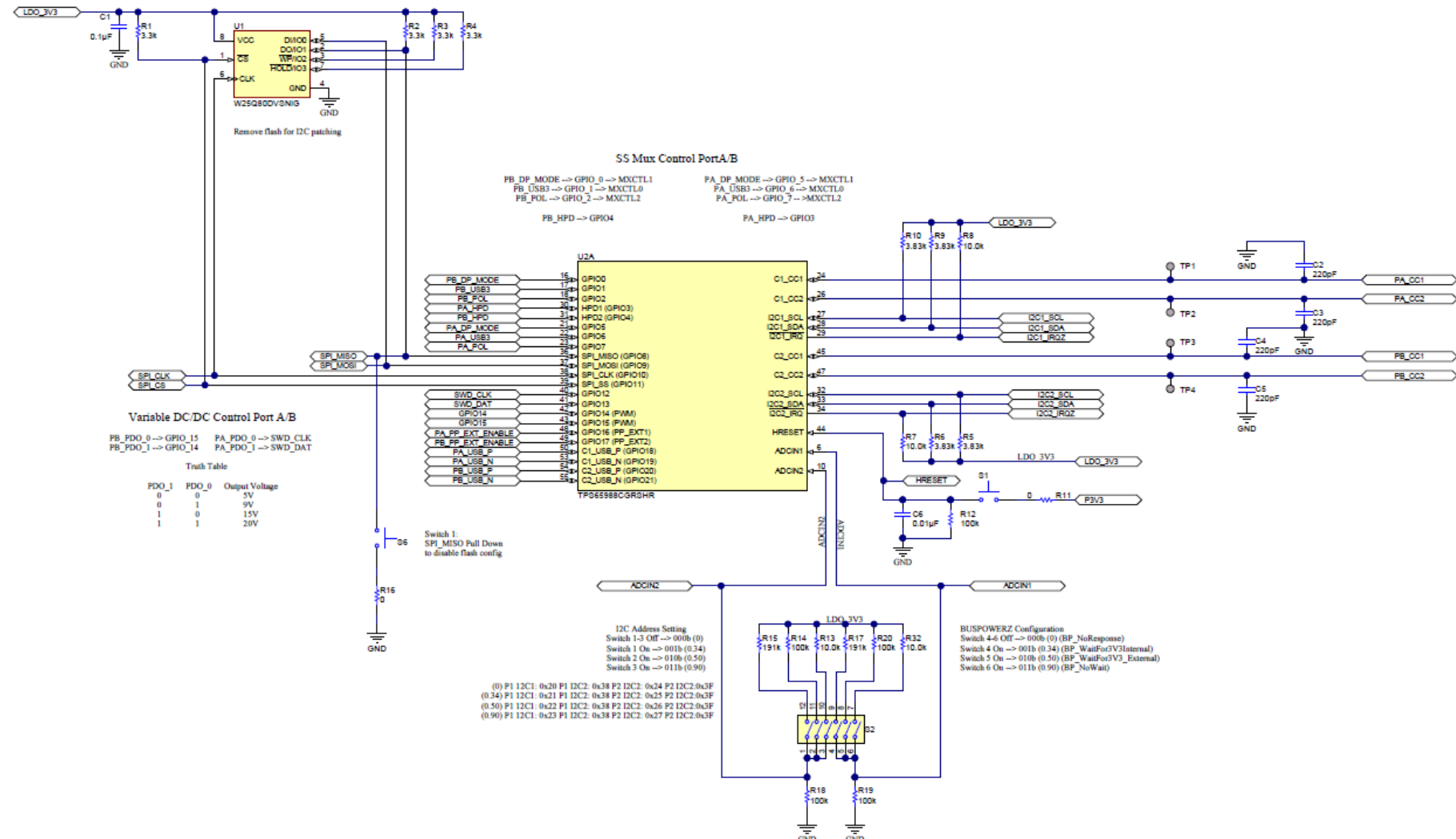


图 9-2. TPS65988EVM 处理器模块

图 9-3 展示了电源路径模块，其中包含 TPS65988 的电源部分和所需的无源器件。外部电源路径由背对背 PMO 以及 RCP 电路组成。内部电源路径用于提供电源，而外部电源路径用于接收电源。TPS65988 电源路径可向 VBUS 供电或使用来自 VBUS 的电源。

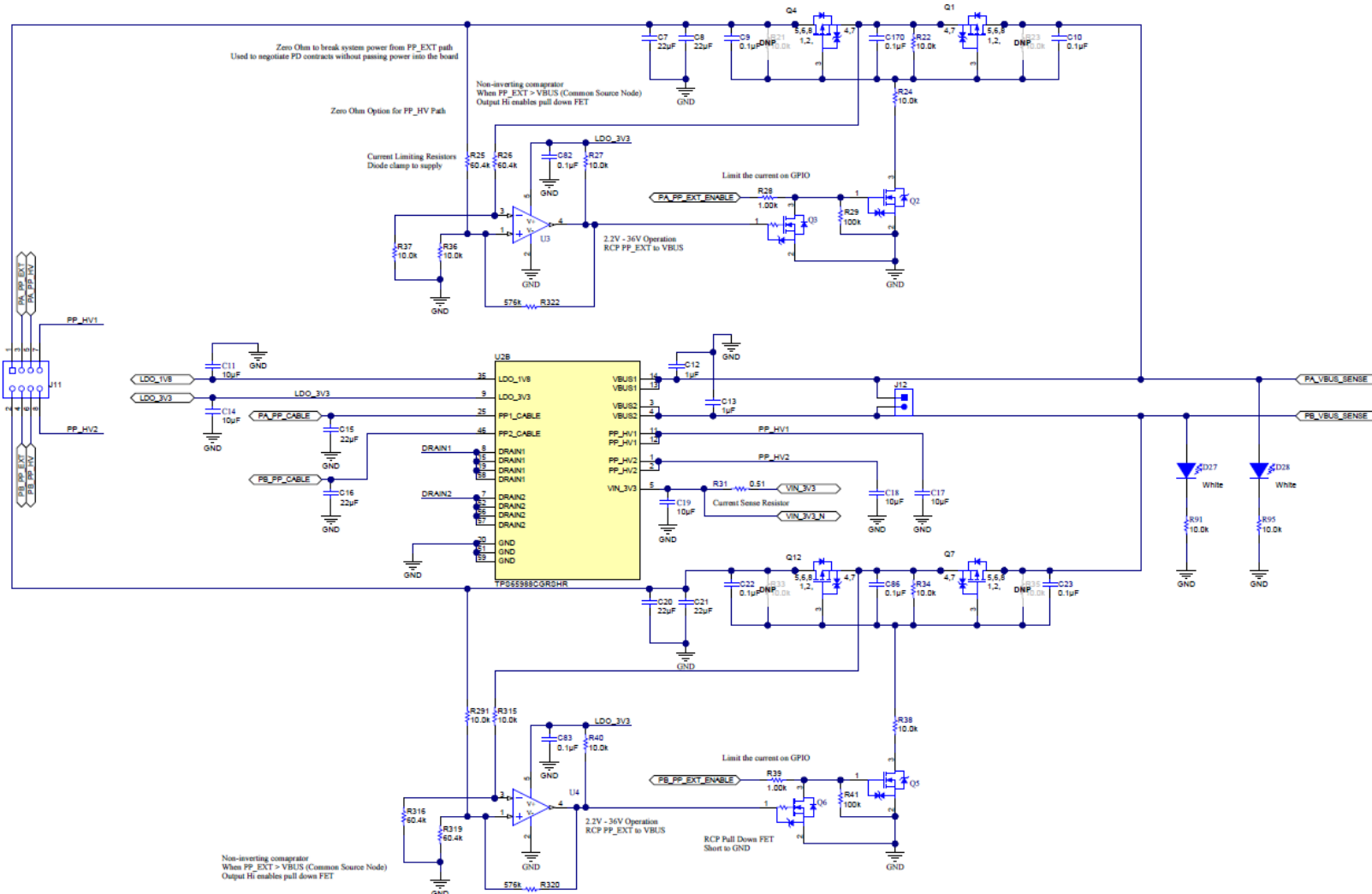


图 9-3. TPS65988EVM 电源路径模块

图 9-4 展示了电源模块，其中包含生成的所有板载电源和用于桶形插孔检测的比较器电路。有两个可生成 5V、9V、15V 和 20V 电压的可变电源。有三个可生成 1.2V、3.3V 和 5V 电压的直流/直流转换器。SYS_PWR 的最小电压为 5V；但是，这也会降低 VBUS 的最大功耗能力。当使用较低的电压时，可能必须调整比较器电路使其在较低的电压下跳闸，以便进行正确的桶形插孔检测。

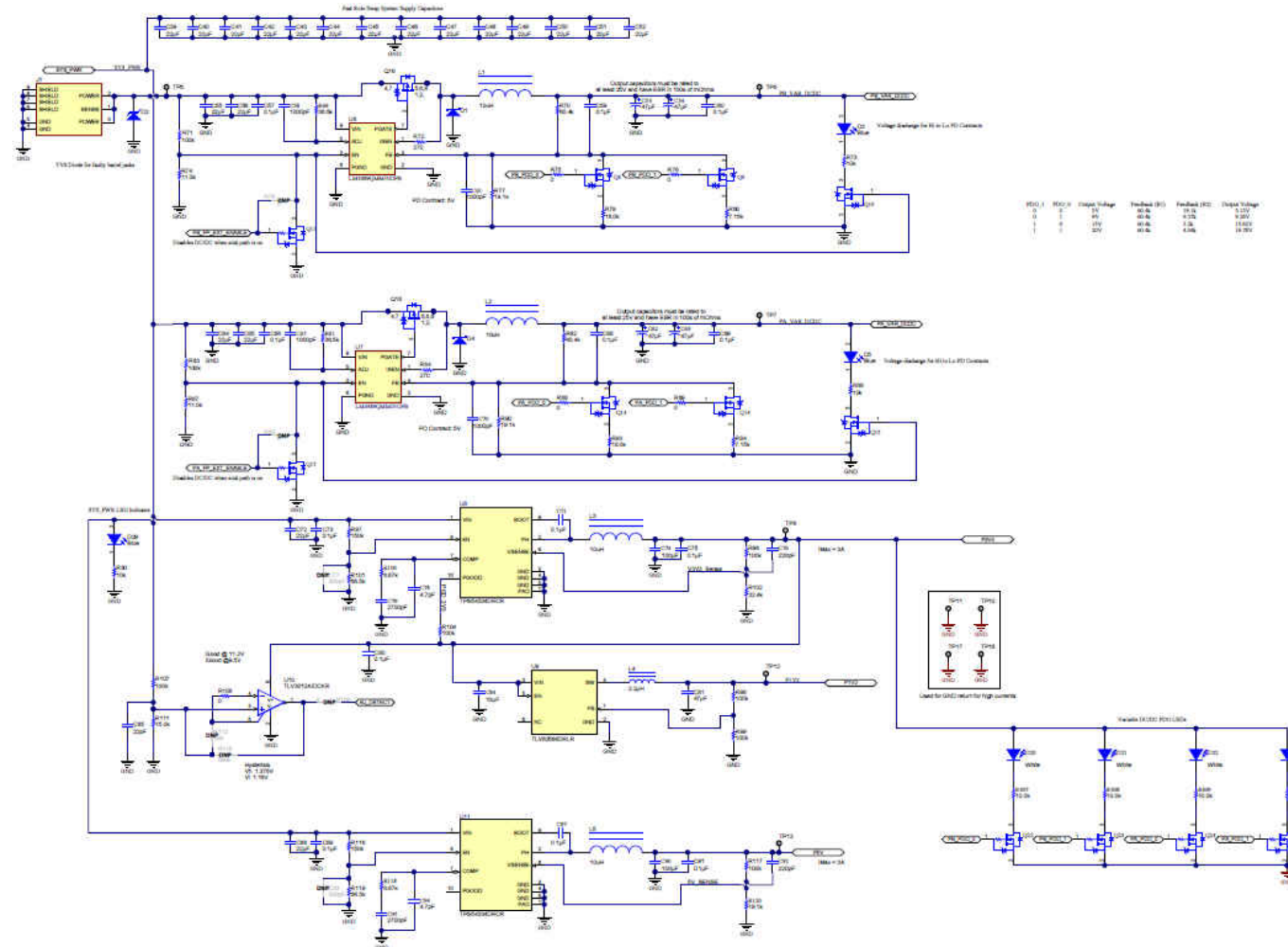


图 9-4. TPS65988EVM 电源模块

图 9-5 展示了用于将 DisplayPort 信号切换到任一 USB Type-C 端口的 DisplayPort 多路复用器。

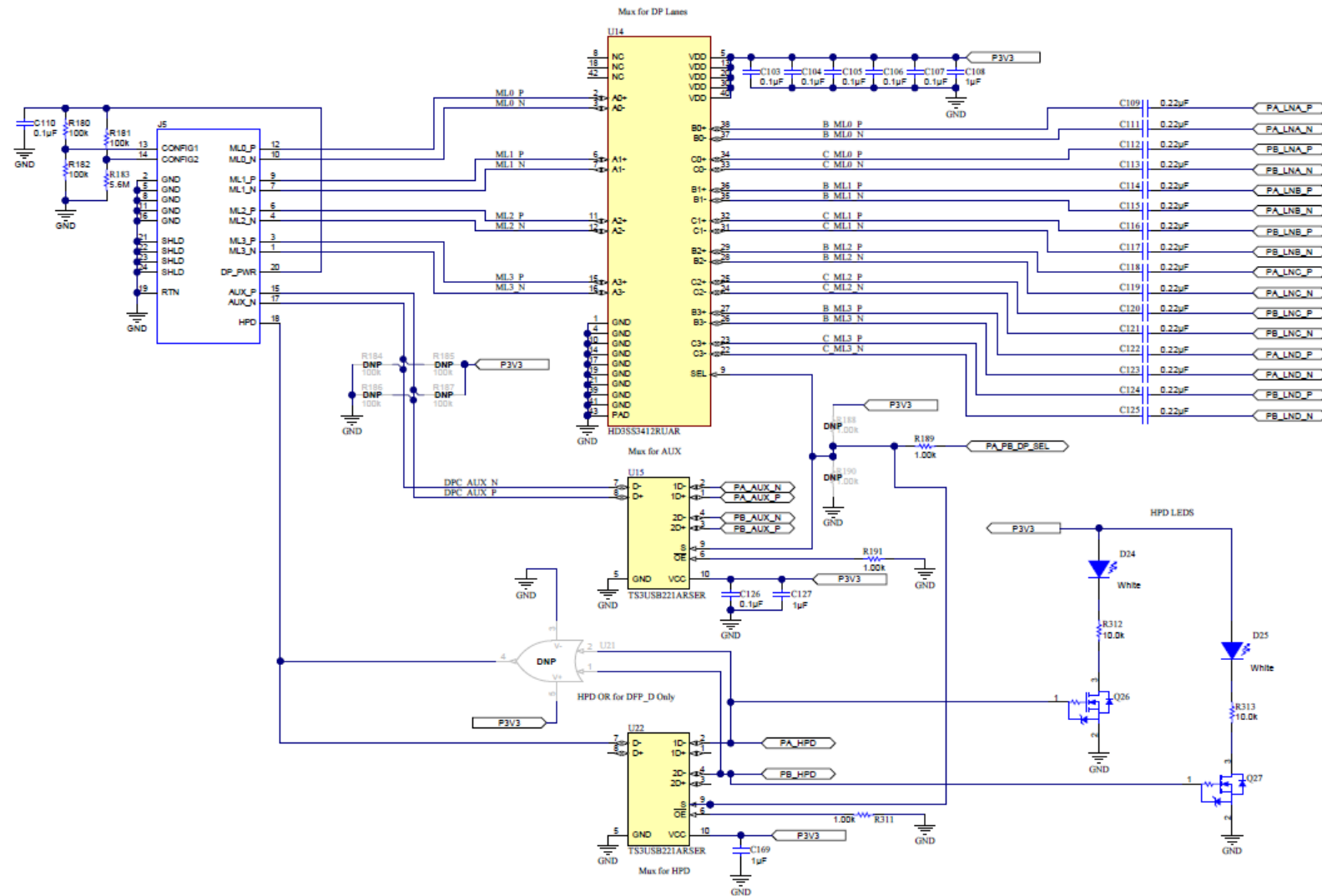


图 9-5. TPS65988EVM DisplayPort 多路复用器

图 9-6 展示了端口 A 的 SS MUX 模块，此端口用于连接 DP 和 USB 插座产生的 DP 和 USB 信号。SS MUX 由系统 3.3V 电源轨供电并实现 DisplayPort 的配置 C、D 和 E。可通过 GPIO 或 I²C 实现这些配置。作为主机，SS MUX 能够在 2 或 4 条 DP 信道中支持高达 5Gbps 的 USB 3.1 数据速率和高达 8.1Gbps 的 DP 1.4 数据速率。

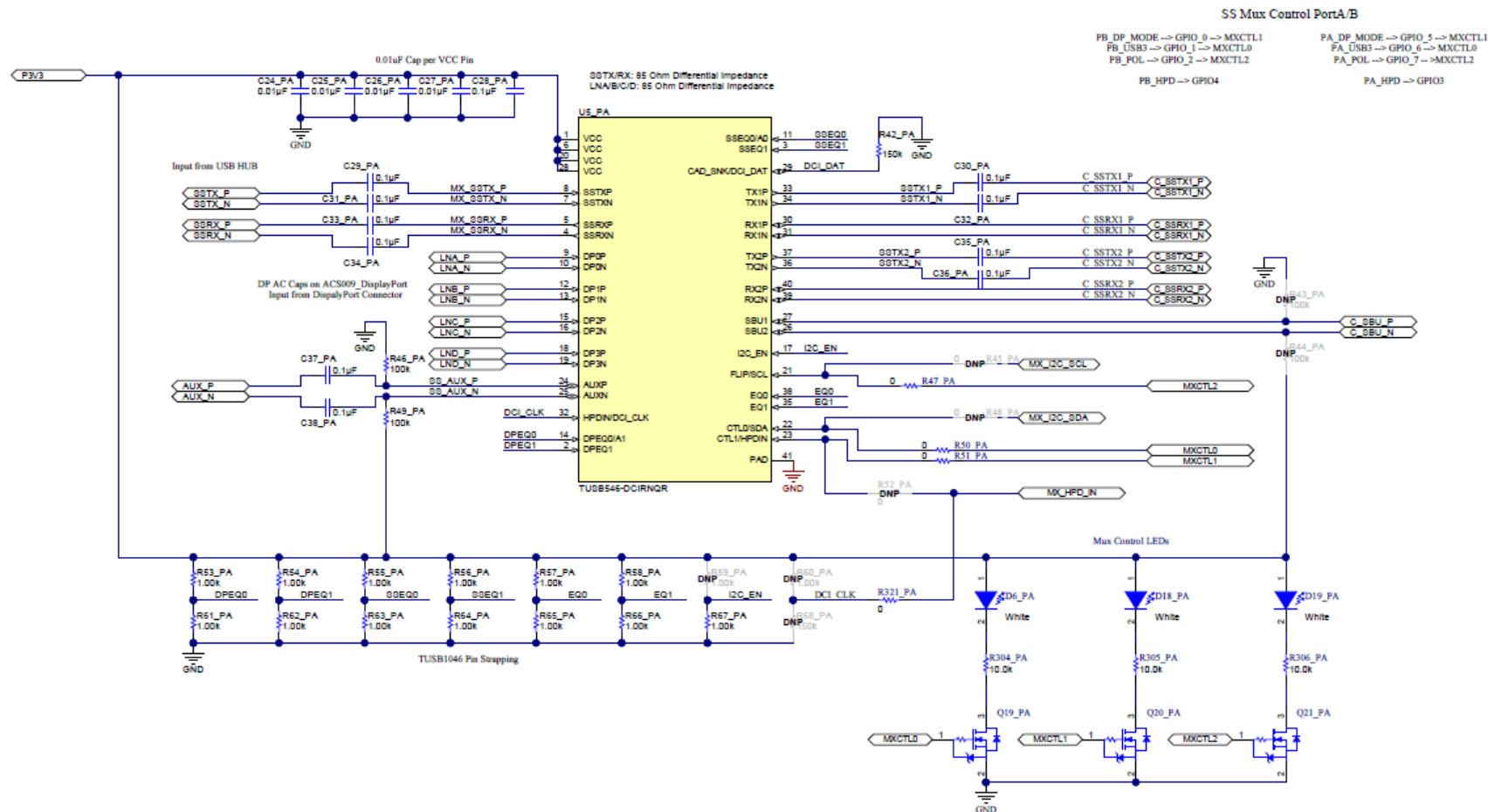


图 9-6. TPS65988EVM SS MUX 模块端口 A

图 9-7 展示了端口 B 的 SS MUX 模块，此端口用于连接 DP 和 USB 插座产生的 DP 和 USB 信号。SS MUX 由系统 3.3V 电源轨供电并实现 DisplayPort 的配置 C、D 和 E。可通过 GPIO 或 I²C 实现这些配置。作为主机，SS MUX 能够在 2 或 4 条 DP 信道中支持高达 5Gbps 的 USB 3.1 数据速率和高达 8.1Gbps 的 DP 1.4 数据速率。

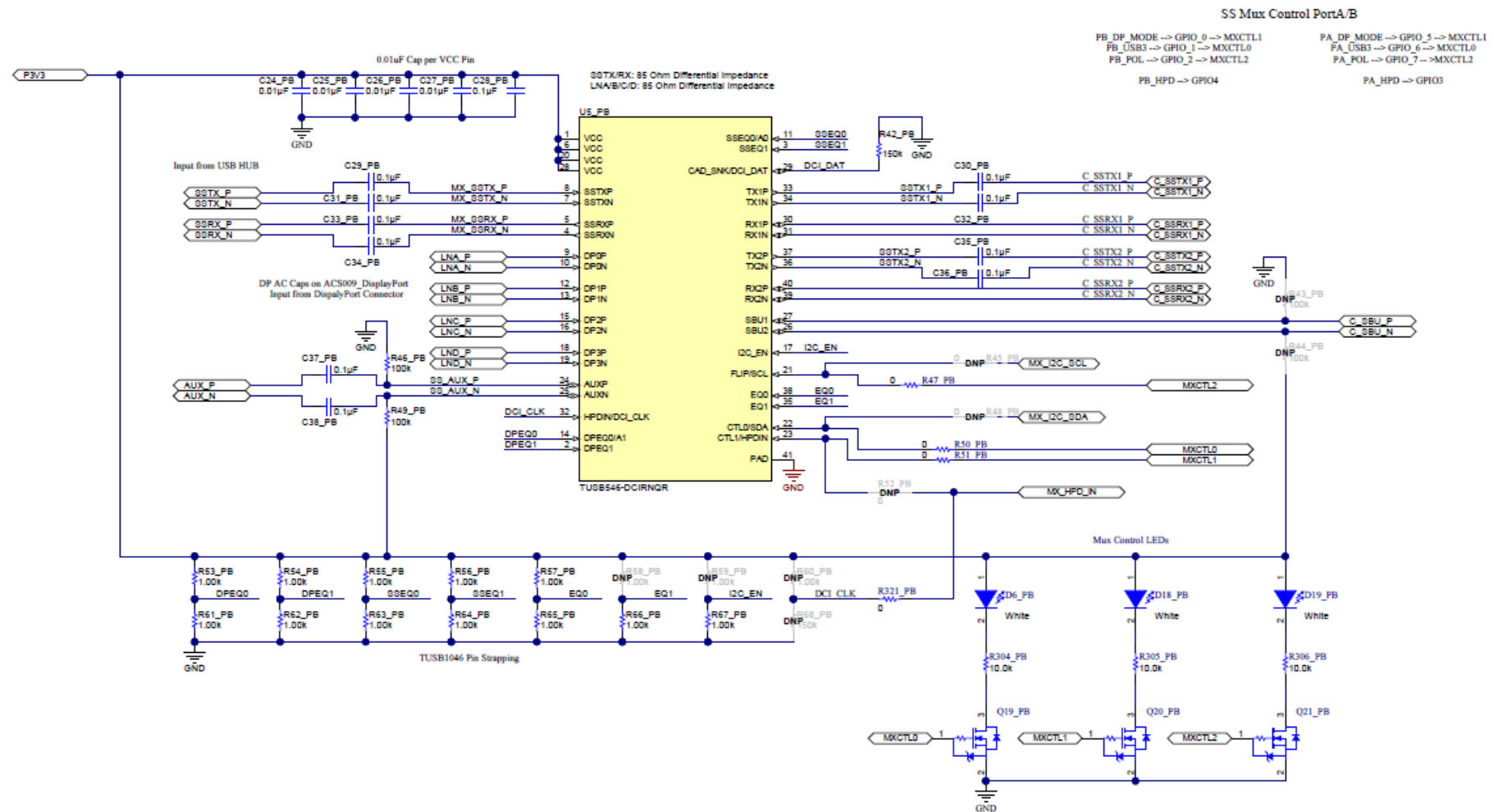


图 9-7. TPS65988EVM SS MUX 模块端口 B

图 9-8 展示了 USB HUB，其中包含来自 USB 源端插座的连接。

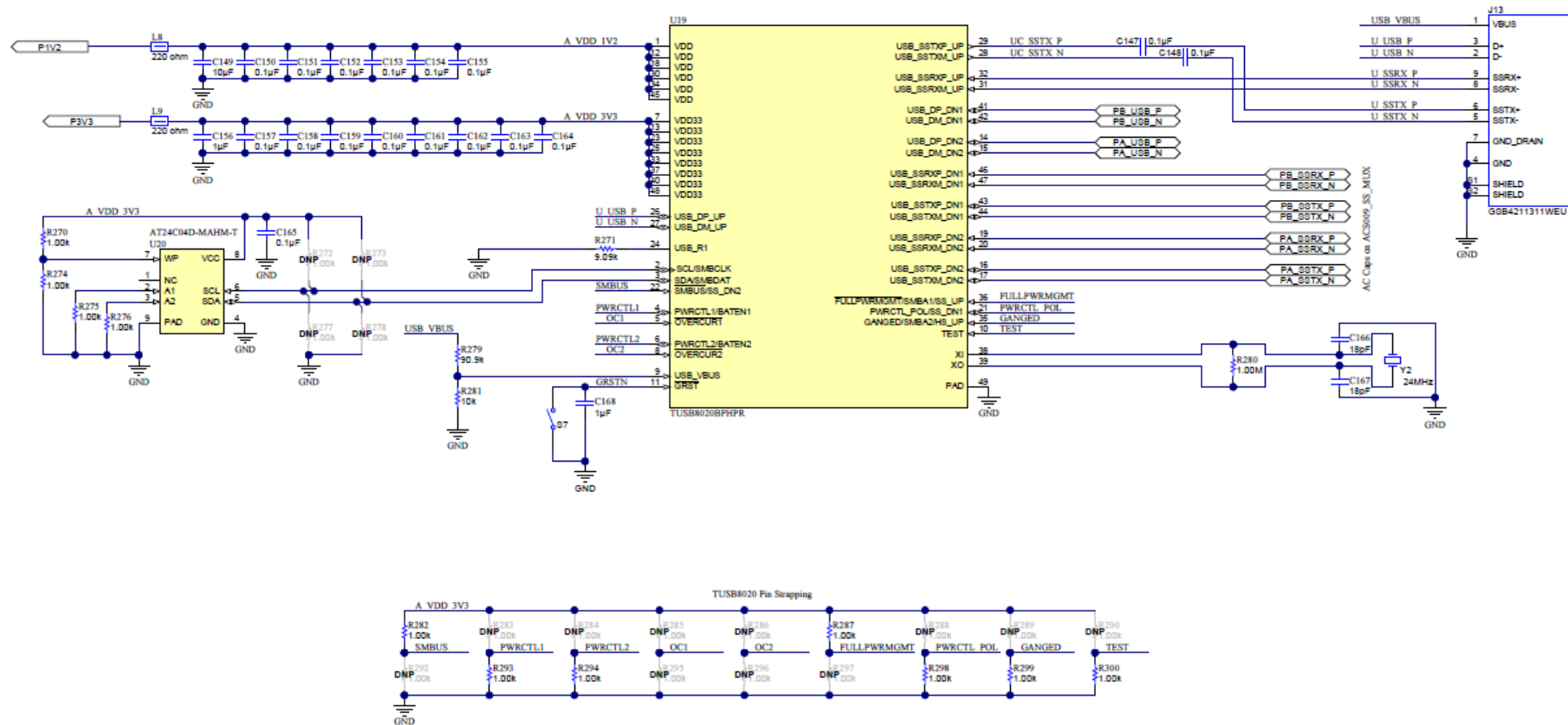


图 9-8. TPS65988EVM USB HUB

图 9-9 展示了 USB Type-C 模块，其中包括 USB Type-C 端口 A 和 ESD 保护。

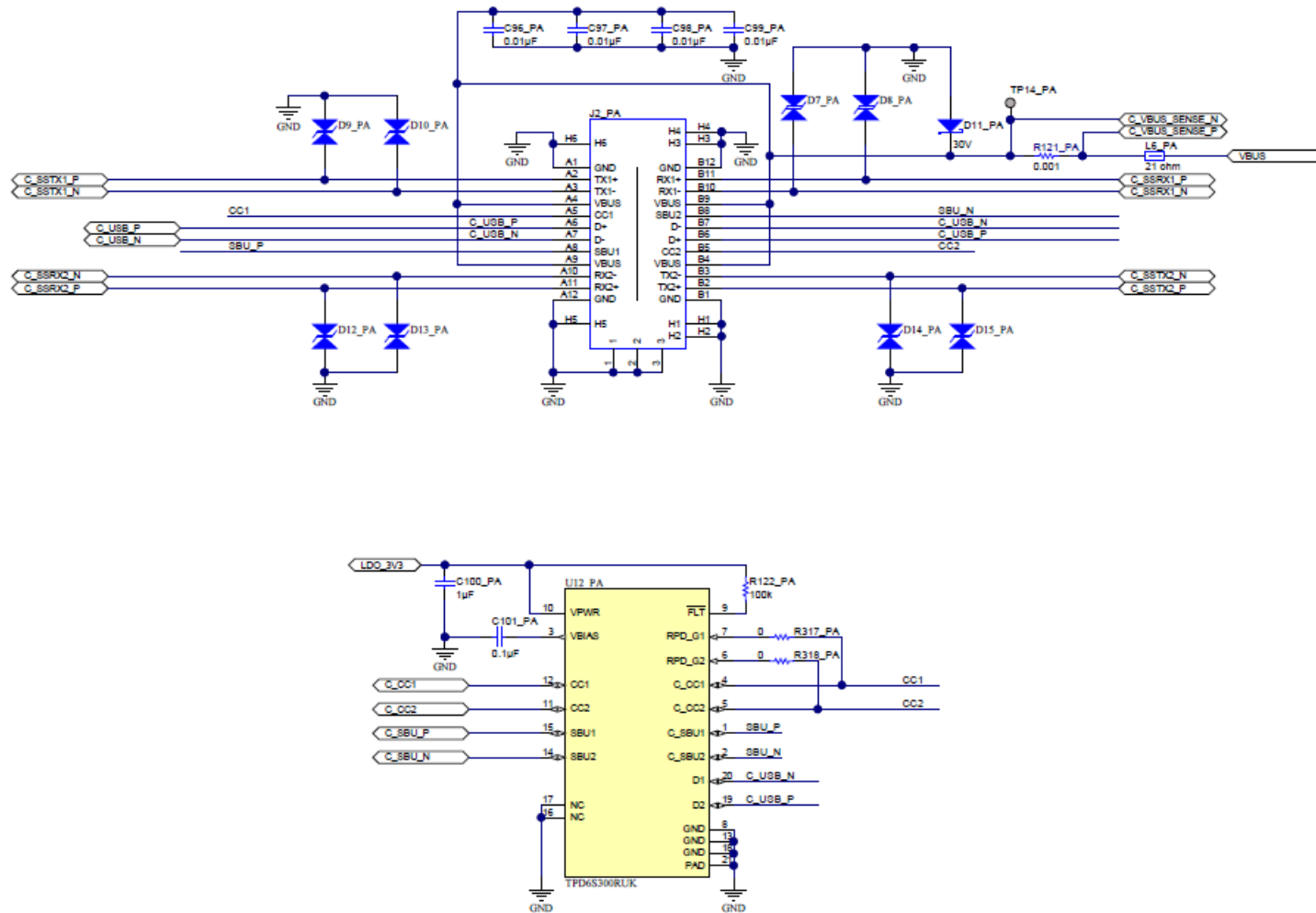


图 9-9. TPS65988EVM USB Type-C™ 端口 A 模块

图 9-10 展示了 USB Type-C 模块，其中包括 USB Type-C 端口 B 和 ESD 保护。

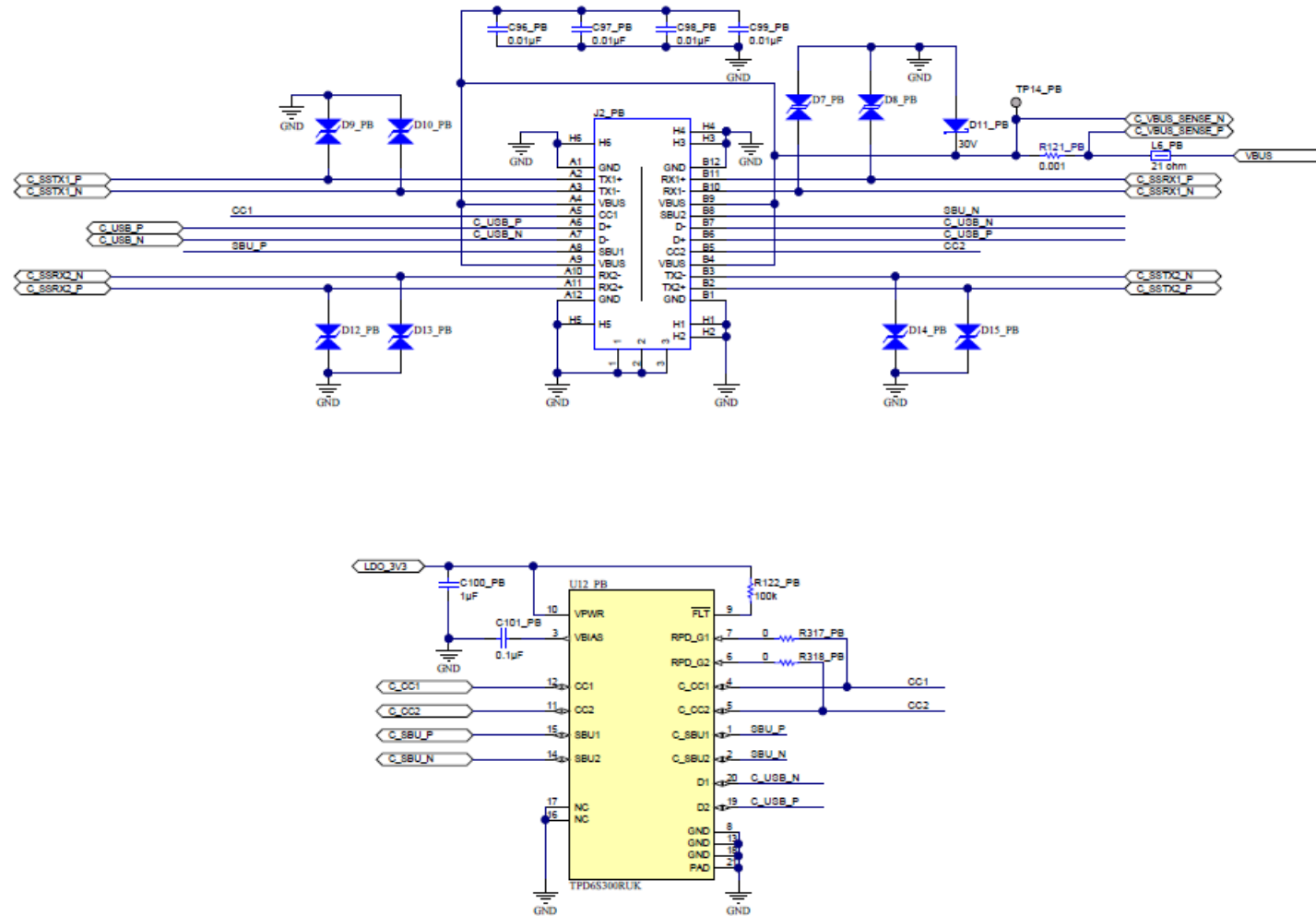


图 9-10. TPS65988EVM USB Type-C™ 端口 B 模块

图 9-11 展示了 FTDI 模块，其中包含来自 FTDI 板的连接。

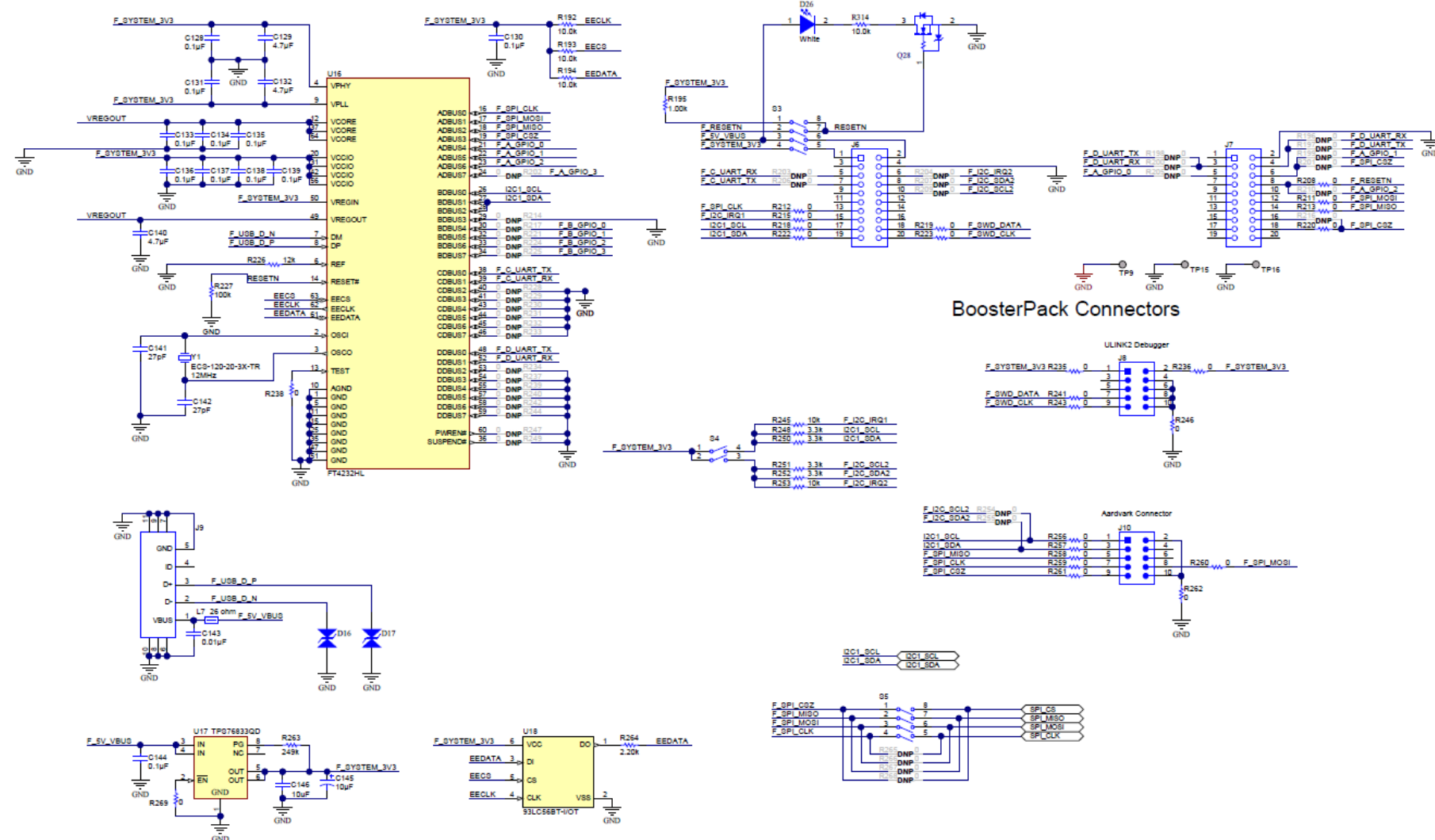


图 9-11. TPS65988EVM FTDI® 连接器模块

图 9-12 和图 9-13 显示了电流感测模块，其中包含端口 A 和端口 B 与 VBUS 和 VIN_3V3 的检测连接。

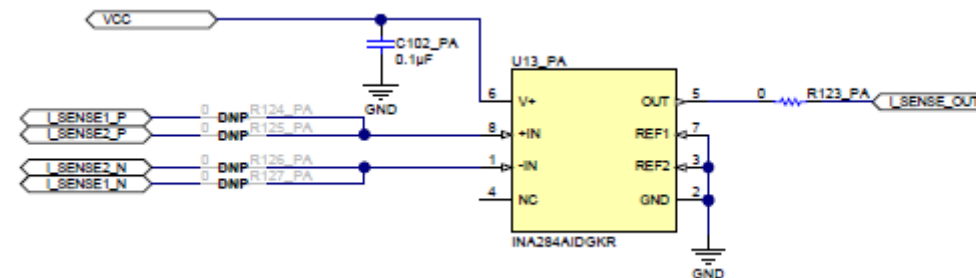


图 9-12. TPS65988EVM 电流感测模块端口 A

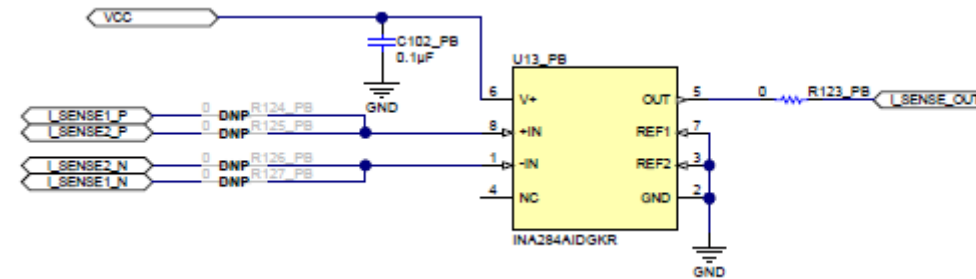


图 9-13. TPS65988EVM 电流感测模块端口 B

图 9-14 展示了 BoosterPack 接头模块，其中包含到 BoosterPack 接头的连接。

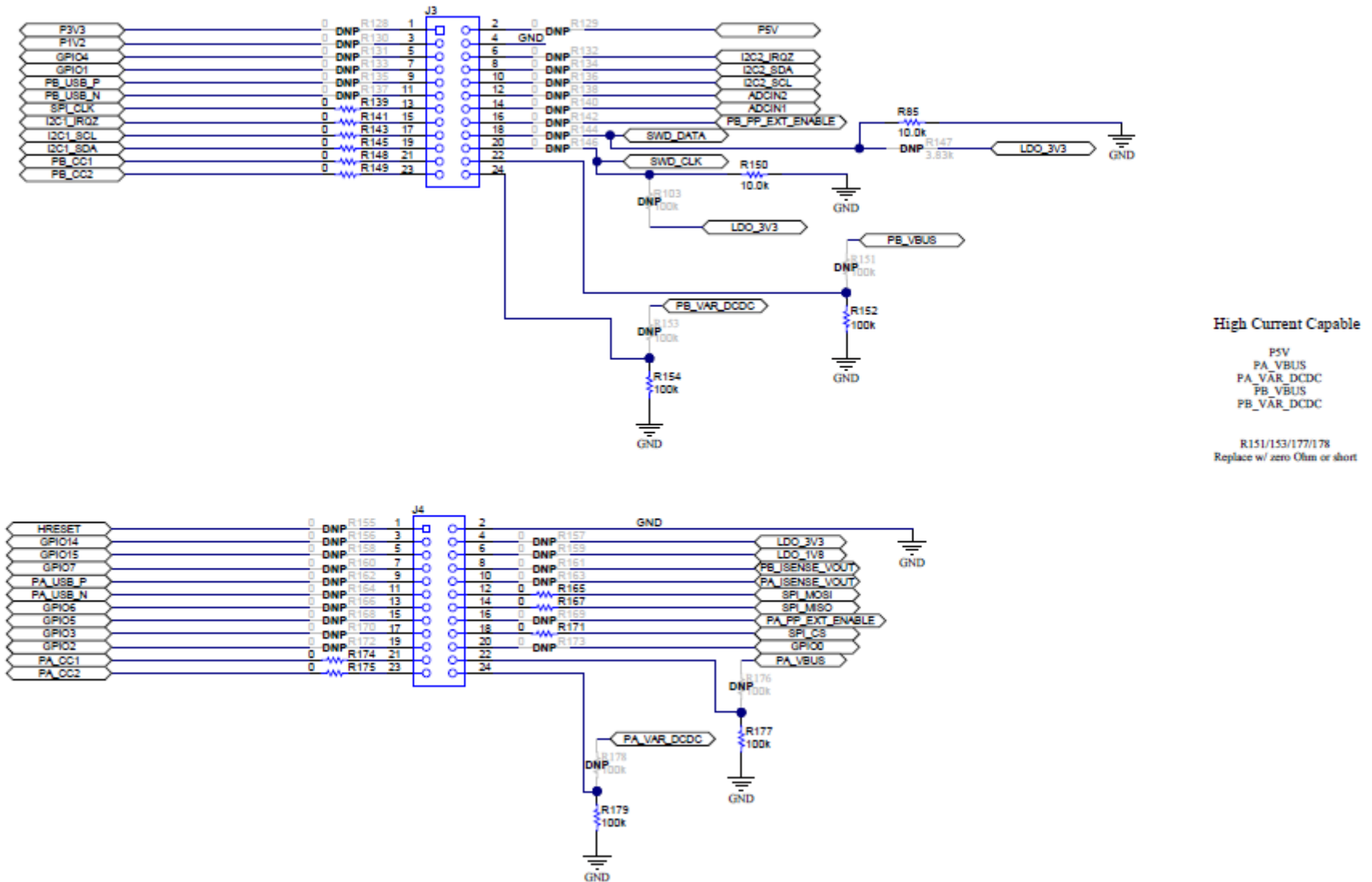


图 9-14. TPS65988EVM BoosterPack 接头模块

10 TPS65988EVM 电路板布局布线

图 9-1 至图 10-12 包含 TPS65988EVM 的 PCB 布局。

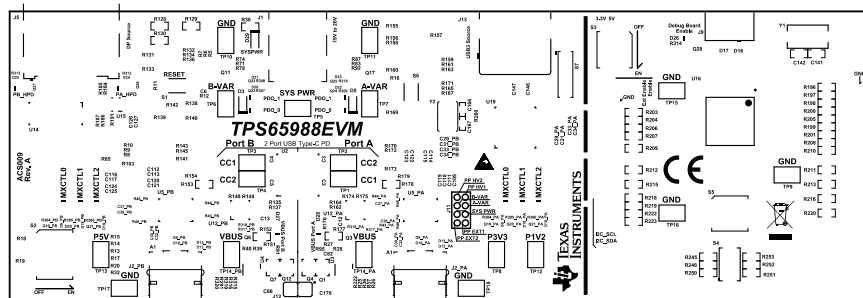


图 10-1. TPS65988EVM 顶部覆盖层

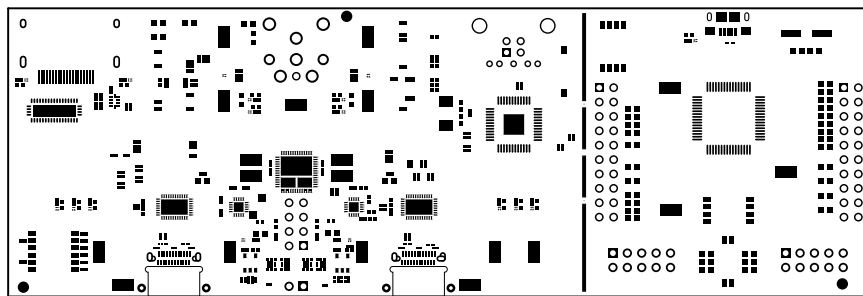


图 10-2. TPS65988EVM 焊接

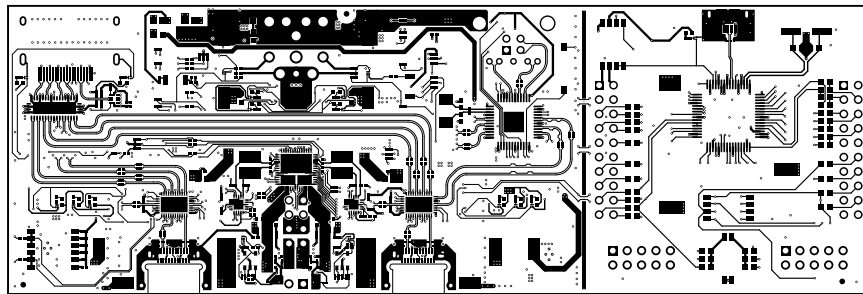


图 10-3. TPS65988EVM 顶层 SSTXRX1

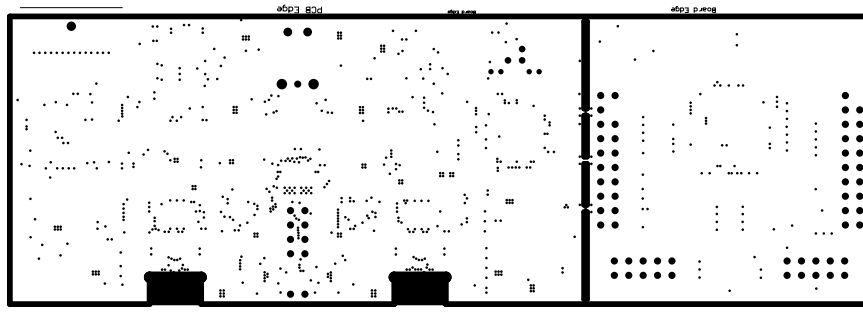


图 10-4. TPS65988EVM GND 平面 1

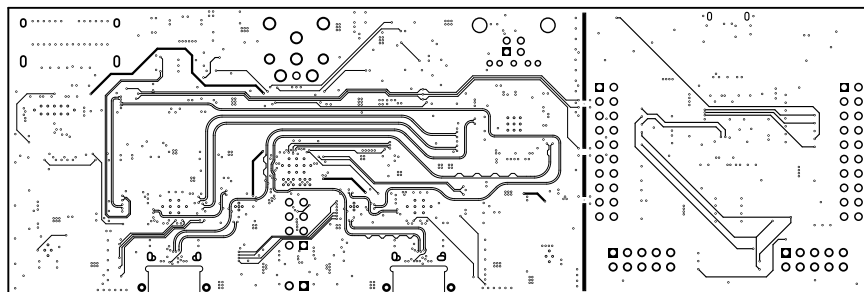


图 10-5. TPS65988EVM 高速

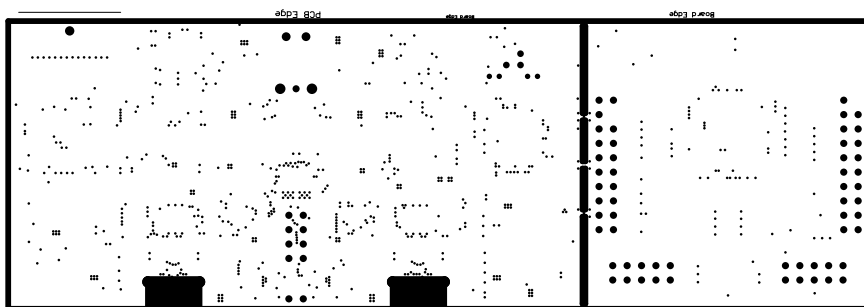


图 10-6. TPS65988EVM GND 平面 2

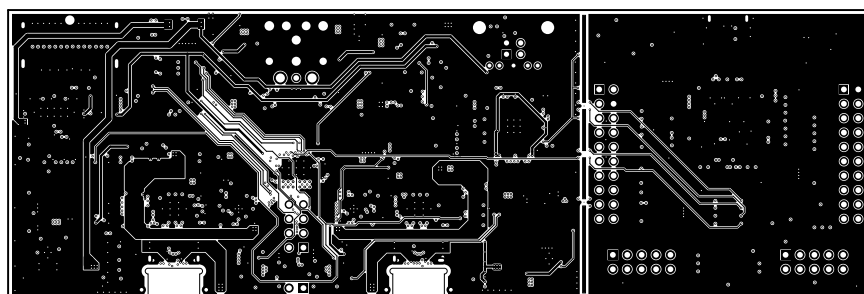


图 10-7. TPS65988EVM 电源 1

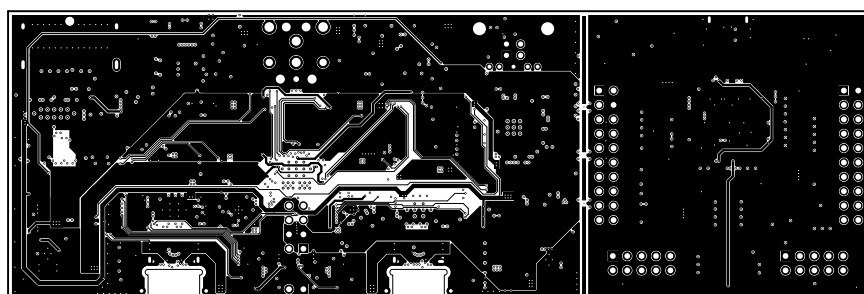


图 10-8. TPS65988EVM 电源 2

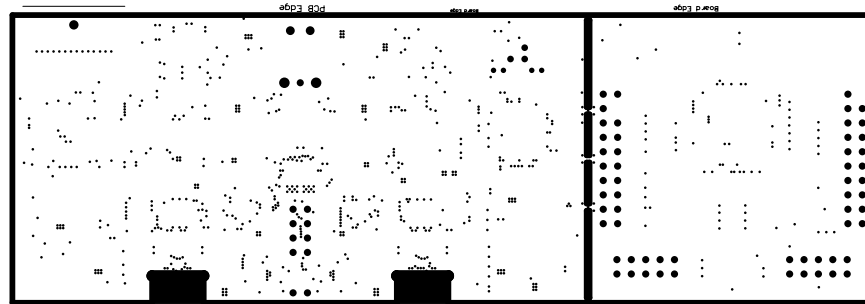


图 10-9. TPS65988EVM GND 平面 3

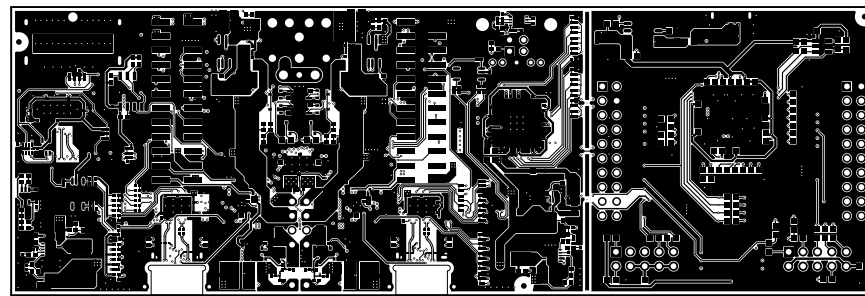


图 10-10. TPS65988EVM SSTXRX2

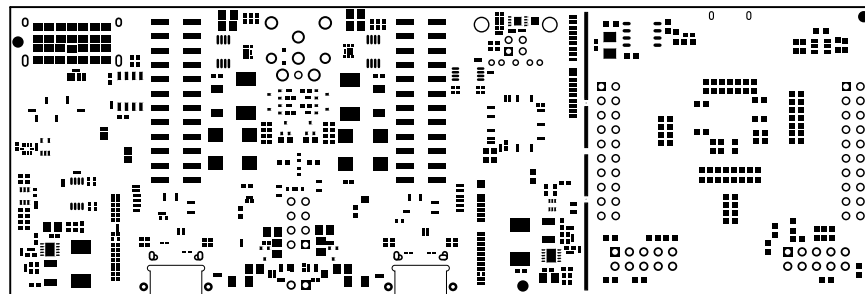


图 10-11. TPS65988EVM 阻焊层

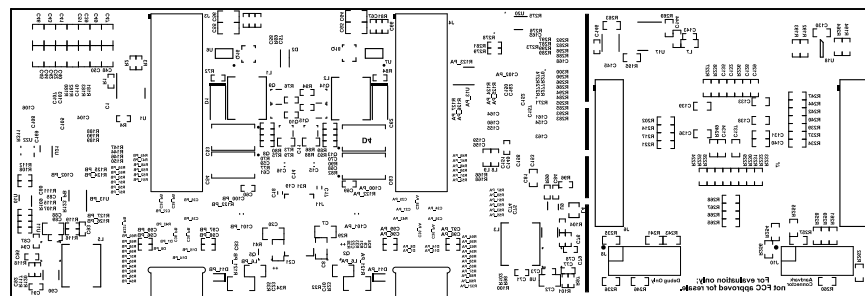


图 10-12. TPS65988EVM 底层组件视图

11 TPS65988EVM 物料清单

表 11-1 列出了 TPS65988EVM BOM。

表 11-1. TPS65988EVM 物料清单

| 标识符 | 数量 | 值 | 说明 | 封装参考 | 器件型号 | 制造商 | 备选器件型号 | 备选制造商 |
|--|----|--------|----------------------------------|------|---------------------|-------------------------------------|--------|-------|
| !PCB1 | 1 | | 印刷电路板 | | ACS009 | 不限 | - | - |
| C1、C24_PA_SS、 C24_PB_SS、 C25_PA_SS、 C25_PB_SS、 C26_PA_SS、 C26_PB_SS、 C27_PA_SS、 C27_PB_SS、 C28_PA_SS、 C28_PB_SS、 C29_PA_SS、 C29_PB_SS、 C30_PA_SS、 C30_PB_SS、 C31_PA_SS、 C31_PB_SS、 C32_PA_SS、 C32_PB_SS、 C33_PA_SS、 C33_PB_SS、 C34_PA_SS、 C34_PB_SS、 C35_PA_SS、 C35_PB_SS、 C36_PA_SS、 C36_PB_SS、 C37_PA_SS、 C37_PB_SS、 C38_PA_SS、 C38_PB_SS、 C110、 C147、C148 | 34 | 0.1μF | 电容，陶瓷，0.1μF，10V，+/-10%，X5R，0201 | 0201 | CL03A104KP3NNNC | Samsung Electro-Mechanics (三星电机) | | |
| C2、C3、C4、C5 | 4 | 220pF | 电容，陶瓷，220pF，25V，+/-10%，X7R，0201 | 0201 | GRM033R71E221KA01D | Murata (村田) | | |
| C6 | 1 | 0.01uF | 电容，陶瓷，0.01μF，10V，+/-10%，X5R，0201 | 0201 | GRM033R61A103KA01D | Murata (村田) | | |
| C7、C8、C20、C21、 C39、C40、C41、C42、 C43、C44、C45、C46、 C47、C48、C49、C50、 C51、C52、C55、C56、 C64、C65、C72、C88 | 24 | 22μF | 电容，陶瓷，22μF，35V，+/-20%，X5R，0805 | 0805 | C2012X5R1V226M125AC | TDK | | |
| C9、C10、C22、C23、 C102_PA_CS、 C102_PB_CS、C103、 C104、C105、C106、 C107、C126、C150、 C151、C152、C153、 C154、C155、C157、 C158、C159、C160、 C161、C162、C163、 C164、C165、C170、 C171 | 29 | 0.1μF | 电容，陶瓷，0.1μF，25V，+/-10%，X5R，0201 | 0201 | GRM033R61E104KE14J | Murata (村田) | | |

表 11-1. TPS65988EVM 物料清单 (continued)

| 标识符 | 数量 | 值 | 说明 | 封装参考 | 器件型号 | 制造商 | 备选器件型号 | 备选制造商 |
|---|----|---------|---|---------|--------------------------|-------------------------------------|--------|-------|
| C11、C14、C19、C149 | 4 | 10μF | 电容, 陶瓷, 10μF, 10V, +/-20%, X5R, 0402 | 0402 | CL05A106MP5NUNC | Samsung Electro-Mechanics (三星电机) | | |
| C12、C13 | 2 | 1μF | 电容, 陶瓷, 1μF, 35V, +/-10%, JB, 0402 | 0402 | C1005JB1V105K050BC | TDK | | |
| C15、C16 | 2 | 22μF | 电容, 陶瓷, 22μF, 10V, +/-20%, X5R, 0603 | 0603 | C1608X5R1A226M080AC | TDK | | |
| C17、C18 | 2 | 10μF | 电容, 陶瓷, 10μF, 25V, +/-20%, X5R, 0603 | 0603 | GRM188R61E106MA73D | Murata (村田) | | |
| C53、C54、C62、C63 | 4 | 47μF | 电容, 钽, 47μF, 35V, +/-10%, 0.3Ω, SMD | 7343-43 | T521X107M025ATE060 | Kemet (基美) | | |
| C57、C59、C60、C66、C68、C69、C73、C82、C84、C89 | 10 | 0.1μF | 电容, 陶瓷, 0.1μF, 50V, +/-10%, X7R, 0402 | 0402 | C1005X7R1H104K050BB | TDK | | |
| C58、C61、C67、C70 | 4 | 1000pF | 电容, 陶瓷, 1000pF, 50V, +/-1%, C0G/NP0, 0402 | 0402 | GRM1555C1H102FA01D | Murata (村田) | | |
| C71、C87 | 2 | 0.1μF | 电容, 陶瓷, 0.1μF, 50V, +/-10%, X7R, AEC-Q200 1 级, 0402 | 0402 | CGA2B3X7R1H104K050B B | TDK | | |
| C74、C83、C90 | 3 | 100μF | 电容, 陶瓷, 100μF, 10V, +/-20%, X5R, 1210 | 1210 | C1210C107M8PACTU | Wurth Elektronik (伍尔特电子) | | |
| C75、C91 | 2 | 0.1μF | 电容, 陶瓷, 0.1μF, 25V, +/-10%, X7R, 0402 | 0402 | GRM155R71E104KE14D | Murata (村田) | | |
| C76、C92 | 2 | 220pF | 电容, 陶瓷, 220pF, 50V, +/-10%, X7R, AEC-Q200 1 级, 0201 | 0201 | CGA1A2X7R1H221K030B A | TDK | | |
| C78、C94 | 2 | 4.7pF | 电容, 陶瓷, 4.7pF, 50V, +/-5%, C0G/NP0, 0201 | 0201 | GRM0335C1H4R7CA01D | Murata (村田) | | |
| C79、C95 | 2 | 2700pF | 电容, 陶瓷, 2700pF, 10V, +/-10%, X5R, 0201 | 0201 | GRM033R61A272KA01D | Murata (村田) | | |
| C80 | 1 | 0.1μF | 电容, 陶瓷, 0.1μF, 35V, +/-10%, X5R, 0402 | 0402 | GMK105BJ104KV-F | Taiyo Yuden (太阳诱电) | | |
| C81 | 1 | 47μF | 电容, 陶瓷, 47μF, 6.3V, +/-20%, X5R, 0603 | 0603 | GRM188R60J476ME15D | Murata (村田) | | |
| C85 | 1 | 22pF | 电容, 陶瓷, 22pF, 50V, +/-5%, C0G/NP0, 0402 | 0402 | C1005C0G1H220J050BA | TDK | | |
| C86 | 1 | 0.047μF | 电容, 陶瓷, 0.047μF, 16V, +/-10%, X5R, 0201 | 0201 | GRM033R61C473KE84D | Murata (村田) | | |
| C96_PA、C96_PB、C97_PA、C97_PB、C98_PA、C98_PB、C99_PA、C99_PB | 8 | 0.01μF | 电容, 陶瓷, 0.01μF, 50V, +/-10%, X7R, 0402 | 0402 | GRM155R71H103KA88D | Murata (村田) | | |
| C100_PA、C100_PB | 2 | 1μF | 电容, 陶瓷, 1μF, 6.3V, +/-20%, X5R, 0201 | 0201 | GRM033R60J105MEA2D | Murata (村田) | | |
| C101_PA、C101_PB | 2 | 0.1μF | 电容, 陶瓷, 0.1μF, 100V, +/-10%, X7R, 0603 | 0603 | GRM188R72A104KA35D | Murata (村田) | | |
| C108、C127、C156、C168、C169 | 5 | 1μF | 电容, 陶瓷, 1μF, 10V, +/-20%, X5R, 0201 | 0201 | CL03A105MP3NSNC | Samsung Electro-Mechanics (三星电机) | | |
| C109、C111、C112、C113、C114、C115、C116、C117、C118、C119、C120、C121、C122、C123、C124、C125 | 16 | 0.22μF | 电容, 陶瓷, 0.22μF, 10V, +/-20%, X5R, 0201 | 0201 | LMK063BJ224MP-F | Taiyo Yuden (太阳诱电) | | |
| C128、C130、C131、C133、C134、C135、C136、C137、C138、C139、C144 | 11 | 0.1μF | 电容, 陶瓷, 0.1μF, 50V, +/-10%, X7R, 0603 | 0603 | GRM188R71H104KA93D | Murata (村田) | | |
| C129、C132、C140 | 3 | 4.7μF | 电容, 陶瓷, 4.7μF, 25V, +/-10%, X5R, 0603 | 0603 | GRM188R61E475KE11D | Murata (村田) | | |
| C141、C142 | 2 | 27pF | 电容, 陶瓷, 27pF, 50V, +/-1%, C0G/NP0, 0603 | 0603 | CL10C270FB8NNNC | Samsung Electro-Mechanics (三星电机) | | |
| C143 | 1 | 0.01μF | 电容, 陶瓷, 0.01μF, 50V, +/-5%, X7R, 0402 | 0402 | C0402C103J5RACTU | Kemet (基美) | | |

表 11-1. TPS65988EVM 物料清单 (continued)

| 标识符 | 数量 | 值 | 说明 | 封装参考 | 器件型号 | 制造商 | 备选器件型号 | 备选制造商 |
|---|----|------|---|-------------------------------|----------------------|---|----------------|-----------|
| C145 | 1 | 10uF | 电容，钽，10μF，10V，+/-10%，2.5Ω，SMD | 3528-21 | 293D106X9010B2TE3 | Vishay-Sprague (威世斯普拉格) | | |
| C146 | 1 | 10uF | 电容，陶瓷，10μF，10V，+/-20%，X5R，0402 | 0402 | GRM155R61A106ME21D | Murata (村田) | | |
| C166、C167 | 2 | 18pF | 电容，陶瓷，18pF，50V，+/-5%，C0G/NP0，0402 | 0402 | GRM1555C1H180JA01D | Murata (村田) | | |
| D1、D4 | 2 | 30V | 二极管，肖特基，30V，5A，SOD-128 | SOD-128 | PMEG3050EP，115 | NXP Semiconductor (恩智浦半导体) | | |
| D2 | 1 | 24V | 二极管，TVS，双向，24V，200W，SOD323，2引线，封装1.9x1.45mm，无极性标记 | SOD323，2引线，封装1.9x1.45mm，无极性标记 | PESD24VL1BA，115 | NXP Semiconductor (恩智浦半导体) | | |
| D3、D5 | 2 | 蓝色 | LED，蓝色，SMD | 0.8x1.6mm | 19-213/BHC-AN1P2/3T | Everlight | | |
| D6_PA_SS、 D6_PB_SS、 D18_PA_SS、 D18_PB_SS、 D19_PA_SS、 D19_PB_SS、D20、 D21、D22、D23、D24、 D25、D26 | 13 | 白色 | LED，白色，SMD | 0402，白色 | LW QH8G-Q2S2-3K5L-1 | OSRAM | | |
| D7_PA、D7_PB、 D8_PA、D8_PB、 D9_PA、D9_PB、 D10_PA、D10_PB、 D12_PA、D12_PB、 D13_PA、D13_PB、 D14_PA、D14_PB、 D15_PA、D15_PB、 D16、D17 | 18 | | 单通道 ESD 保护二极管，用于高达 20Gbps 的高速数据线，DPL0002A | DPL0002A | TPD1E01B04DPLR | 德州仪器 (TI) | TPD1E01B04DPLT | 德州仪器 (TI) |
| D11_PA、D11_PB | 2 | 30V | 二极管，肖特基，30V，2A，2-XFDFN | 2-XFDFN | NSR20F30NXT5G | ON Semiconductor (安森美半周体) | | |
| FID1、FID2、FID3、 FID4、FID5、FID6 | 6 | | 基准标记。没有需要购买或安装的元件。 | 基准 | 不适用 | 不适用 | | |
| J1 | 1 | | 连接器，直流电源插孔，R/A，3位，TH | 电源连接器 | JPD1135-509-7F | Foxconn (富士康) | | |
| J2_PA、J2_PB | 2 | | 连接器，插座，USB Type C，R/A，SMT | 连接器，插座，USB Type C，SMT | 20-0000016-01 | Lintes Technology | | |
| J3、J4 | 2 | | 插座，12x2，2.54mm，金，SMT | 插座，12x2，2.54mm，SMT | SSW-112-22-G-D-VS | Samtec (申泰) | | |
| J5 | 1 | | 插座，HDMI，20Pos，R/A，SMT | 插座，HDMI，20Pos，R/A，SMT | 47272-0001 | Molex (莫仕) | | |
| J6、J7 | 2 | | 插座，2.54mm，10x2，金，TH | 插座，2.54mm，10x2，TH | CRD-081413-A-G | Major League Electronics | | |
| J8、J10 | 2 | | 接头，100mil，5x2，锡，TH | 接头，5x2，100mil，锡 | PEC05DAAN | Sullins Connector Solutions (赛凌思科技有限公司) | | |
| J9 | 1 | | 插座，Micro-USB Type B，0.65mm，5x1，R/A，底部安装SMT | 插座，0.65mm，5x1，R/A，SMT | 47346-1001 | Molex (莫仕) | | |
| J11 | 1 | | 连接器，插座，USB 3.1 Type B，R/A，TH | 连接器，插座，USB 3.1 Type B，R/A，TH | GSB4211311WEU | Amphenol Canada | | |
| L1、L2、L3、L5 | 4 | 10μH | | 7.2mm x 6.65mm | ASPI-0630LR-100M-T15 | ABRACON | - | - |
| L4 | 1 | 1uH | 电感器，屏蔽，金属复合物，1μH，3.3A，0.04Ω，SMD | 2.5x1.2x2mm | DFE252012F-1R0M=P2 | Murata Toko | | |
| L6_PA、L6_PB | 2 | 21Ω | 铁氧体磁珠，21Ω @ 100MHz，6A，0805 | 0805 | FBMJ2125HM210NT | Taiyo Yuden (太阳诱电) | | |
| L7 | 1 | 26Ω | 铁氧体磁珠，26Ω @ 100MHz，6A，0603 | 0603 | BLM18SG260TN1D | Murata (村田) | | |
| L8、L9 | 2 | 220Ω | 铁氧体磁珠，220Ω @ 100MHz，2.5A，0603 | 0603 | BLM18SG221TN1D | Murata (村田) | | |
| Q1、Q4、Q7、Q12 | 4 | -30V | MOSFET，P沟道，-30V，-60A，610x604x515mm | 610x604x515mm | SI7997DP-T1-GE3 | Vishay-Siliconix | | 无 |

表 11-1. TPS65988EVM 物料清单 (continued)

| 标识符 | 数量 | 值 | 说明 | 封装参考 | 器件型号 | 制造商 | 备选器件型号 | 备选制造商 |
|---|----|-------|--|----------|------------------|----------------------------------|--------|-------|
| Q2、Q5、Q8、Q9、 Q10、Q13、Q14、Q15、 Q16、Q18 | 10 | 30V | MOSFET , N 沟道 , 30V , 0.35A , AEC-Q101 , SOT-323 | SOT-323 | NX3008NBKW , 115 | NXP Semiconductor (恩智浦 半导体) | | 无 |
| Q3、Q6、Q11、Q17、 Q19_PA_SS、 Q19_PB_SS、 Q20_PA_SS、 Q20_PB_SS、 Q21_PA_SS、 Q21_PB_SS、Q22、 Q23、Q24、Q25、Q26、 Q27、Q28 | 17 | 20V | MOSFET , N 沟道 , 20V , 0.5A , YJM0003A (PICOSTAR-3) | YJM0003A | CSD15380F3 | 德州仪器 (TI) | | 无 |
| R1、R2、R3、R4 | 4 | 3.3k | 电阻 , 3.3k , 5% , 0.063W , 0402 | 0402 | CRCW04023K30JNED | Vishay-Dale (威世达勒) | | |
| R5、R6、R9、R10 | 4 | 3.83k | 电阻 , 3.83k , 1% , 0.05W , 0201 | 0201 | CRCW02013K83FKED | Vishay-Dale (威世达勒) | | |
| R7、R8 | 2 | 10.0k | 电阻 , 10.0k , 1% , 0.05W , 0201 | 0201 | MCR006YRTF1002 | Rohm (罗姆) | | |
| R11、R16、 R47_PA_SS、 R47_PB_SS、 R50_PA_SS、 R50_PB_SS、 R51_PA_SS、 R51_PB_SS、R75、 R76、R88、R89、 R113、R123_PA_CS、 R123_PB_CS、 R124_PA_CS、 R124_PB_CS、 R127_PA_CS、 R127_PB_CS、R139、 R141、R143、R145、 R148、R149、R165、 R167、R171、R174、 R175、R317_PA、 R317_PB、R318_PA、 R318_PB、 R321_PA_SS、 R321_PB_SS | 36 | 0 | 电阻 , 0 , 5% , 0.05W , 0201 | 0201 | ERJ-1GE0R00C | Panasonic (松下) | | |
| R12、R14、R18、R19、 R29、R41、 R46_PA_SS、 R46_PB_SS、 R49_PA_SS、 R49_PB_SS、R71、 R83、R96、R104、 R106、R122_PA、 R122_PB、R152、 R154、R177、R179、 R180、R181、R182 | 24 | 100k | 电阻 , 100kΩ , 1% , 0.05W , 0201 | 0201 | CRCW0201100KFKED | Vishay-Dale (威世达勒) | | |

表 11-1. TPS65988EVM 物料清单 (continued)

| 标识符 | 数量 | 值 | 说明 | 封装参考 | 器件型号 | 制造商 | 备选器件型号 | 备选制造商 |
|---|----|-------|------------------------------|------|------------------|----------------------|--------|-------|
| R13、R17、R22、R24、R25、R26、R27、R34、R36、R37、R38、R40、R85、R91、R99、R103、R304_PA_SS、R304_PB_SS、R305_PA_SS、R305_PB_SS、R306_PA_SS、R306_PB_SS、R307、R308、R309、R310、R312、R313、R314、R323、R324、R325、R326 | 33 | 10.0k | 电阻, 10.0k, 1%, 0.05W, 0201 | 0201 | CRCW020110K0FKED | Vishay-Dale (威世达勒) | | |
| R15 | 1 | 191k | 电阻, 191kΩ, 1%, 0.05W, 0201 | 0201 | RC0201FR-07191KL | Yageo America (国巨) | | |
| R28、R39、R53_PA_SS、R53_PB_SS、R54_PA_SS、R54_PB_SS、R55_PA_SS、R55_PB_SS、R56_PA_SS、R56_PB_SS、R57_PA_SS、R57_PB_SS、R58_PA_SS、R61_PA_SS、R61_PB_SS、R62_PA_SS、R62_PB_SS、R63_PA_SS、R63_PB_SS、R64_PA_SS、R64_PB_SS、R65_PA_SS、R65_PB_SS、R66_PA_SS、R66_PB_SS、R67_PA_SS、R67_PB_SS、R189、R191、R270、R274、R275、R276、R282、R287、R293、R294、R298、R299、R300、R311 | 41 | 1.00k | 电阻, 1.00kΩ, 1%, 0.05W, 0201 | 0201 | CRCW02011K00FKED | Vishay-Dale (威世达勒) | | |
| R31 | 1 | 0.51 | 电阻, 0.51, 1%, 0.125W, 0402 | 0402 | ERJ-2BQFR51X | Panasonic (松下) | | |
| R42_PA_SS、R42_PB_SS、R97、R116 | 4 | 150k | 电阻, 150k, 1%, 0.063W, 0402 | 0402 | CRCW0402150KFKED | Vishay-Dale (威世达勒) | | |
| R69、R81 | 2 | 36.5k | 电阻, 36.5kΩ, 1%, 0.063W, 0402 | 0402 | CRCW040236K5FKED | Vishay-Dale (威世达勒) | | |
| R70、R82 | 2 | 60.4k | 电阻, 60.4kΩ, 1%, 0.063W, 0402 | 0402 | CRCW040260K4FKED | Vishay-Dale (威世达勒) | | |
| R72、R84 | 2 | 270 | 电阻, 270, 5%, 0.063W, 0402 | 0402 | CRCW0402270RJNED | Vishay-Dale (威世达勒) | | |
| R73、R86 | 2 | 1.00k | 电阻, 1.00k, 0.1%, 0.1W, 0603 | 0603 | RT0603BRB071KL | Yageo America (国巨) | | |
| R74、R87 | 2 | 11.0k | 电阻, 11.0kΩ, 1%, 0.05W, 0201 | 0201 | CRCW020111K0FKED | Vishay-Dale (威世达勒) | | |

表 11-1. TPS65988EVM 物料清单 (continued)

| 标识符 | 数量 | 值 | 说明 | 封装参考 | 器件型号 | 制造商 | 备选器件型号 | 备选制造商 |
|---|----|---------|--|---------------------|------------------|--|--------|-------|
| R77、R90、R120 | 3 | 19.1k | 电阻, 19.1kΩ, 1%, 0.063W, 0402 | 0402 | CRCW040219K1FKED | Vishay-Dale (威世达勒) | | |
| R79、R93 | 2 | 18.0k | 电阻, 18.0kΩ, 1%, 0.063W, AEC-Q200 0 级, 0402 | 0402 | CRCW040218K0FKED | Vishay-Dale (威世达勒) | | |
| R80、R94 | 2 | 7.15k | 电阻, 7.15kΩ, 1%, 0.063W, 0402 | 0402 | CRCW04027K15FKED | Vishay-Dale (威世达勒) | | |
| R98、R107、R117 | 3 | 100k | 电阻, 100kΩ, 1%, 0.063W, 0402 | 0402 | CRCW0402100KFKED | Vishay-Dale (威世达勒) | | |
| R100、R118 | 2 | 8.87k | 电阻, 8.87kΩ, 1%, 0.063W, 0402 | 0402 | CRCW04028K87FKED | Vishay-Dale (威世达勒) | | |
| R101、R119 | 2 | 66.5k | 电阻, 66.5kΩ, 1%, 0.063W, 0402 | 0402 | CRCW040266K5FKED | Vishay-Dale (威世达勒) | | |
| R102 | 1 | 32.4k | 电阻, 32.4kΩ, 1%, 0.063W, 0402 | 0402 | CRCW040232K4FKED | Vishay-Dale (威世达勒) | | |
| R108 | 1 | 0 | 电阻, 0, 5%, 0.063W, 0402 | 0402 | CRCW04020000Z0ED | Vishay-Dale (威世达勒) | | |
| R110 | 1 | 7.50k | 电阻, 7.50kΩ, 1%, 0.063W, 0402 | 0402 | CRCW04027K50FKED | Vishay-Dale (威世达勒) | | |
| R111、R114 | 2 | 15.0k | 电阻, 15.0kΩ, 1%, 0.063W, 0402 | 0402 | CRCW040215K0FKED | Vishay-Dale (威世达勒) | | |
| R121_PA、R121_PB | 2 | 0.001 | 电阻, 0.001, 1%, 1W, AEC-Q200 0 级, 1206 | 1206 | CSNL1206FT1L00 | Stackpole Electronics Inc (斯塔克波尔电子公司) | | |
| R183 | 1 | 5.6Meg | 电阻, 5.6M, 5%, 0.05W, 0201 | 0201 | MCR006YRTJ565 | Rohm (罗姆) | | |
| R192、R193、R194 | 3 | 10.0k | 电阻, 10.0kΩ, 1%, 0.1W, 0603 | 0603 | RC0603FR-0710KL | Yageo America (国巨) | | |
| R195 | 1 | 1.00k | 电阻, 1.00kΩ, 1%, 0.1W, 0603 | 0603 | CRCW06031K00FKEA | Vishay-Dale (威世达勒) | | |
| R208、R211、R212、R213、R215、R218、R219、R220、R222、R223、R235、R236、R238、R241、R243、R246、R256、R257、R258、R259、R260、R261、R262、R269 | 24 | 0 | 电阻, 0, 5%, 0.1W, 0603 | 0603 | CRCW06030000Z0EA | Vishay-Dale (威世达勒) | | |
| R226 | 1 | 12k | 电阻, 12kΩ, 5%, 0.1W, 0603 | 0603 | CRCW060312K0JNEA | Vishay-Dale (威世达勒) | | |
| R227 | 1 | 100k | 电阻, 100kΩ, 5%, 0.1W, 0603 | 0603 | CRCW0603100KJNEA | Vishay-Dale (威世达勒) | | |
| R245、R253 | 2 | 10k | 电阻, 10k, 5%, 0.1W, 0603 | 0603 | RC1608J103CS | Samsung Electro-Mechanics (三星电机) | | |
| R248、R250、R251、R252 | 4 | 3.3k | 电阻, 3.3kΩ, 5%, 0.1W, 0603 | 0603 | CRCW06033K30JNEA | Vishay-Dale (威世达勒) | | |
| R263 | 1 | 249k | 电阻, 249k, 1%, 0.1W, 0603 | 0603 | CRCW0603249KFKEA | Vishay-Dale (威世达勒) | | |
| R264 | 1 | 2.20k | 电阻, 2.20k, 1%, 0.1W, 0603 | 0603 | RC0603FR-072K2L | Yageo America (国巨) | | |
| R271 | 1 | 9.09k | 电阻, 9.09kΩ, 1%, 0.05W, 0201 | 0201 | CRCW02019K09FKED | Vishay-Dale (威世达勒) | | |
| R279 | 1 | 90.9k | 电阻, 90.9kΩ, 1%, 0.063W, 0402 | 0402 | CRCW040290K9FKED | Vishay-Dale (威世达勒) | | |
| R280 | 1 | 1.00Meg | 电阻, 1.00M, 1%, 0.05W, AEC-Q200 0 级, 0201 | 0201 | RK73H1HTC1004F | KOA Speer (日本兴亚) | | |
| R281 | 1 | 10k | 电阻, 10k, 5%, 0.063W, 0402 | 0402 | CRCW040210K0JNED | Vishay-Dale (威世达勒) | | |
| R302、R303、R315、R316 | 4 | 0 | 电阻, 0, 5%, 0.125W, 0805 | 0805 | ERJ-6GEY0R00V | Panasonic (松下) | | |
| R322、R327 | 2 | 576k | 电阻, 576kΩ, 1%, 0.05W, 0201 | 0201 | RC0201FR-07576KL | Yageo America (国巨) | | |
| S1 | 1 | | 触控式开关, 单刀单掷-常开 0.05A/12V | 3mm x 1.6mm x 2.5mm | B3U-1000P | Omron Electronic Components (欧姆龙) | | |
| S2、S3、S5 | 3 | | DIP 开关, SPST, 4 位, 滑动式, SMT | 6.2x2.0x6.2mm | TDA04H0SB1 | C&K Components (高铭开关) | | |
| S4 | 1 | | SPST 开关, 2 芯, 25mA, 24VDC, SMD | 3.71x5.8mm | 218-2LPST | CTS Electrocomponents | | |

表 11-1. TPS65988EVM 物料清单 (continued)

| 标识符 | 数量 | 值 | 说明 | 封装参考 | 器件型号 | 制造商 | 备选器件型号 | 备选制造商 |
|---|----|-------|---|--------------|----------------------|----------------------|-----------------|-----------|
| TP1、TP2、TP3、TP4、 TP5、TP6、TP7、TP8、 TP9、TP10、TP11、 TP12、TP13、 TP14_PA、TP14_PB、 TP15、TP16 | 17 | | 测试点，微型，SMT | 测试点，微型，SMT | 5019 | Keystone | | |
| U1 | 1 | | 3V, 8Mbit, 具有双 SPI 和四 SPI 的串行闪存, SOIC-8 | SOIC-8 | W25Q80DVSNIG | Winbond | | |
| U2 | 1 | | 具有集成电源开关的双端口 USB Type-C 和 USB PD 控制器 内部数据表, RSL0048D | RSL0048D | TPS65988RSL | 德州仪器 (TI) | | 德州仪器 (TI) |
| U3, U4 | 2 | | 2.2V 至 36V、微功耗比较器, DBV0005A | DBV0005A | TLV1701AIDBVR | 德州仪器 (TI) | TLV1701AIDBVT | 德州仪器 (TI) |
| U5_PA_SS、U5_PB_SS | 2 | | USB Type-C DP 交替模式线性转接驱动器交叉点开关, RNQ0040A | RNQ0040A | TUSB546-DCIRNQR | 德州仪器 (TI) | TUSB546-DCIRNQT | 德州仪器 (TI) |
| U6、U7 | 2 | | 具有使能引脚的滞后 PFET 降压控制器, 8 引脚 MSOP, 不含铅 | MUA08A | LM3489QMM/NOPB | 德州仪器 (TI) | | |
| U8、U11 | 2 | | 4.2V 至 28V 输入、3A 输出、同步 SWIFT™ 降压转换器, DRC0010J | DRC0010J | TPS54334DRCR | 德州仪器 (TI) | TPS54334DRCT | 德州仪器 (TI) |
| U9 | 1 | | 具有 iDCS-Control、强制 PWM 模式和可编程开关频率的 2A 高效降压转换器, RWK0011B | RWK0011B | TPS62097RWKR | 德州仪器 (TI) | TPS62097RWKT | 德州仪器 (TI) |
| U10 | 1 | | 毫微功耗, 1.8V, 具有电压基准的比较器, DCK0006A | DCK0006A | TLV3012AIDCKR | 德州仪器 (TI) | TLV3012AIDCKT | 德州仪器 (TI) |
| U12_PA、U12_PB | 2 | | USB Type C 接口保护器 : VBUS 短路过压保护和 IEC 61000-4-2 ESD 保护, RUK0020B | RUK0020B | TPD6S300RUK | 德州仪器 (TI) | | 德州仪器 (TI) |
| U13_PA_CS、 U13_PB_CS | 2 | | 高精度、宽共模范围、双向电流分流监控器, 零漂移系列, DGK0008A | DGK0008A | INA284AIDGKR | 德州仪器 (TI) | INA284AIDGKT | 德州仪器 (TI) |
| U14 | 1 | | 4 通道高性能差分开关, RUA0042A | RUA0042A | HD3SS3412RUAR | 德州仪器 (TI) | HD3SS3412RUAT | 德州仪器 (TI) |
| U15、U22 | 2 | | 受 ESD 保护的高速 USB 2.0 (480Mbps) 1:2 多路复用器/多路 信号分离器开关, 1:2 多路复用器/多路信号分离器, 6Ω RON, 2.5 至 3.3V, -40 至 85°C, 10 引脚 UQFN (RSE), 环保 (符合 RoHS 标准, 无锑/溴) | RSE0010A | TS3USB221ARSER | 德州仪器 (TI) | 等效 | 德州仪器 (TI) |
| U16 | 1 | | 四路高速 USB 转通用 UART/MPSSE IC | LQFP_10x10mm | FT4232HL | FTDI | | |
| U17 | 1 | | 单输出快速瞬态响应 LDO, 1A, 固定 3.3V 输出, 2.7 至 10V 输入, 具有低 IQ, 8 引脚 SOIC (D), -40 至 125°C, 环保 (符合 RoHS 标准, 无锑/溴) | D0008A | TPS76833QD | 德州仪器 (TI) | 等效 | 无 |
| U18 | 1 | | 2K Microwire 兼容串行 EEPROM, SOT-23-6 | SOT-23-6 | 93LC56B-I/OT | Microchip | | |
| U19 | 1 | | 双端口 USB 3.0 集线器, PHP0048E | PHP0048E | TUSB8020BPHPR | 德州仪器 (TI) | TUSB8020BPHP | 德州仪器 (TI) |
| U20 | 1 | | EEPROM 4KBIT 1MHZ, 8UDFN | UDFN-8 | AT24C04D-MAHM-T | Atmel (爱特梅尔) | | |
| Y1 | 1 | | 晶体, 12MHz, 20pF, SMD | 7x2.3x4.1mm | ECS-120-20-3X-TR | ECS Inc. | | |
| Y2 | 1 | | 晶体, 24MHz, 18pF, SMD | ABM3 | ABM3-24.000MHZ-D2W-T | Abraccon Corporation | | |
| C77、C93 | 0 | 300pF | 电容, 陶瓷, 300pF, 25V, +/-5%, C0G/NP0, 0402 | 0402 | GRM1555C1E301JA01D | Murata (村田) | | |
| R20、R30、R32、 R319、R320 | 0 | 0 | 电阻, 0, 5%, 0.125W, 0805 | 0805 | ERJ-6GEY0R00V | Panasonic (松下) | | |
| R21、R23、R33、R35 | 0 | 10.0k | 电阻, 10.0k, 1%, 0.05W, 0201 | 0201 | CRCW020110K0FKED | Vishay-Dale (威世达勒) | | |
| R43_PA_SS、 R43_PB_SS、 R44_PA_SS、 R44_PB_SS、R150、 R184、R185、R186、 R187 | 0 | 100k | 电阻, 100kΩ, 1%, 0.05W, 0201 | 0201 | CRCW0201100KFKED | Vishay-Dale (威世达勒) | | |

表 11-1. TPS65988EVM 物料清单 (continued)

| 标识符 | 数量 | 值 | 说明 | 封装参考 | 器件型号 | 制造商 | 备选器件型号 | 备选制造商 |
|--|----|-------|----------------------------|----------|--------------------|--------------------|--------|-----------|
| R45_PA_SS、 R45_PB_SS、 R48_PA_SS、 R48_PB_SS、 R52_PA_SS、 R52_PB_SS、R78、 R92、R95、R105、 R109、R125_PA_CS、 R125_PB_CS、 R126_PA_CS、 R126_PB_CS、R131、 R132、R133、R134、 R135、R136、R137、 R138、R140、R142、 R144、R146、R155、 R156、R157、R158、 R159、R160、R161、 R162、R163、R164、 R166、R168、R169、 R170、R172、R173、 R291 | 0 | 0 | 电阻，0, 5%, 0.05W, 0201 | 0201 | ERJ-1GE0R00C | Panasonic (松下) | | |
| R58_PA_SS、 R59_PA_SS、 R59_PB_SS、 R60_PA_SS、 R60_PB_SS、R188、 R190、R272、R273、 R277、R278、R283、 R284、R285、R286、 R288、R289、R290、 R292、R295、R296、 R297、R301 | 0 | 1.00k | 电阻，1.00kΩ, 1%, 0.05W, 0201 | 0201 | CRCW02011K00FKED | Vishay-Dale (威世达勒) | | |
| R68_PA_SS、 R68_PB_SS | 0 | 150k | 电阻，150k, 1%, 0.063W, 0402 | 0402 | CRCW0402150KFKED | Vishay-Dale (威世达勒) | | |
| R112 | 0 | 39k | 电阻，39k, 5%, 0.063W, 0402 | 0402 | CRCW040239K0JNED | Vishay-Dale (威世达勒) | | |
| R115 | 0 | 560k | 电阻，560k, 5%, 0.063W, 0402 | 0402 | CRCW0402560KJNED | Vishay-Dale (威世达勒) | | |
| R128、R129、R130、 R196、R197、R198、 R199、R200、R201、 R202、R203、R204、 R205、R206、R207、 R209、R210、R214、 R216、R217、R221、 R224、R225、R228、 R229、R230、R231、 R232、R233、R234、 R237、R239、R240、 R242、R244、R247、 R249、R254、R255、 R265、R266、R267、 R268 | 0 | 0 | 电阻，0, 5%, 0.1W, 0603 | 0603 | CRCW06030000Z0EA | Vishay-Dale (威世达勒) | | |
| R147 | 0 | 3.83k | 电阻，3.83k, 1%, 0.05W, 0201 | 0201 | CRCW02013K83FKED | Vishay-Dale (威世达勒) | | |
| R151、R153、R176、 R178 | 0 | 100k | 电阻，100k, 1%, 0.1W, 0603 | 0603 | CRCW0603100KFKEA | Vishay-Dale (威世达勒) | | |
| U21 | 0 | | 单路 2 输入正或门，DCK0005A | DCK0005A | SN74AHC1G32TDCKRQ1 | 德州仪器 (TI) | | 德州仪器 (TI) |

表 11-1. TPS65988EVM 物料清单 (continued)

| 标识符 | 数量 | 值 | 说明 | 封装参考 | 器件型号 | 制造商 | 备选器件型号 | 备选制造商 |
|--|----|---|----|------|------|-----|--------|-------|
| 说明：除非备选器件型号或备选制造商栏中另外注明，否则所有器件均可替换为等效产品。 | | | | | | | | |

12 修订历史记录

注：以前版本的页码可能与当前版本的页码不同

| Changes from Revision A (June 2018) to Revision B (November 2020) | Page |
|--|-------------|
| • 添加了 <i>REACH</i> 合规性部分..... | 37 |
| • 更改了 <i>TPS65988EVM</i> 电路板布局布线部分中的图像..... | 51 |

| Changes from Revision * (June 2017) to Revision A (June 2018) | Page |
|--|-------------|
| • 对修订版 A 用户指南的节 4 至节 9 进行了整体修改..... | 5 |

重要声明和免责声明

TI“按原样”提供技术和可靠性数据（包括数据表）、设计资源（包括参考设计）、应用或其他设计建议、网络工具、安全信息和其他资源，不保证没有瑕疵且不做出任何明示或暗示的担保，包括但不限于对适销性、某特定用途方面的适用性或不侵犯任何第三方知识产权的暗示担保。

这些资源可供使用 TI 产品进行设计的熟练开发人员使用。您将自行承担以下全部责任：(1) 针对您的应用选择合适的 TI 产品，(2) 设计、验证并测试您的应用，(3) 确保您的应用满足相应标准以及任何其他功能安全、信息安全、监管或其他要求。

这些资源如有变更，恕不另行通知。TI 授权您仅可将这些资源用于研发本资源所述的 TI 产品的应用。严禁对这些资源进行其他复制或展示。您无权使用任何其他 TI 知识产权或任何第三方知识产权。您应全额赔偿因在这些资源的使用中对 TI 及其代表造成任何索赔、损害、成本、损失和债务，TI 对此概不负责。

TI 提供的产品受 [TI 的销售条款](#) 或 [ti.com](#) 上其他适用条款/TI 产品随附的其他适用条款的约束。TI 提供这些资源并不会扩展或以其他方式更改 TI 针对 TI 产品发布的适用的担保或担保免责声明。

TI 反对并拒绝您可能提出的任何其他或不同的条款。

邮寄地址 : Texas Instruments, Post Office Box 655303, Dallas, Texas 75265
Copyright © 2022, 德州仪器 (TI) 公司